

Linzer biol. Beitr.	49/2	1353-1398	11.12.2017
---------------------	------	-----------	------------

Neue und alte Arten der *Stenus indubius*-Gruppe aus China (Coleoptera, Staphylinidae) 354. Beitrag zur Kenntnis der Steninen

Volker PUTHZ

Abstract: **New and old species of the *Stenus indubius* group from China (Coleoptera, Staphylinidae).** 22 new species are described: *Stenus aequabilifrons* nov.sp. (Sichuan), *S. dabacola* nov.sp. (Hubei), *S. dabaensis* nov.sp. (Shaanxi), *S. detestabilis* nov.sp. (Hubei), *S. detestatus* nov.sp. (Hubei), *S. doryphorus* nov.sp. (Yunnan), *S. erlanganus* nov.sp. (Sichuan), *S. habashanus* nov.sp. (Yunnan), *S. hajeki* nov.sp. (Yunnan), *S. impressicollis* nov.sp. (Sichuan), *S. insperabilis* nov.sp. (Yunnan), *S. luojiensis* nov.sp. (Sichuan), *S. luojimontis* nov.sp. (Sichuan), *S. micangmontium* nov.sp. (Shaanxi), *S. nibamontis* nov.sp. (Sichuan), *S. scabripunctus* nov.sp. (Shaanxi), *S. tumidulipennis* nov.sp. (Yunnan), *S. tumoripennis* nov.sp. (Yunnan), *S. xilingshanus* nov.sp. (Sichuan), *S. xueshanus* nov.sp. (Yunnan), *S. zhemoshanus* nov.sp. (Yunnan), *S. zhongdianus* nov.sp. (Yunnan). One new synonymy is presented: *S. shibataianus* PUTHZ, 2011 nov. syn. = *S. vietnamensis* PUTHZ, 1968. A key to species of the *indubius* group is provided.

Key words: Coleoptera, Staphylinidae, Steninae, *Stenus*, new species, *S. indubius*-group, China.

Einleitung

In dieser Arbeit behandle ich alle *Stenus* der *indubius*-Gruppe, die mir in den letzten zwanzig Jahren aus China vorgelegt, aber noch nicht publiziert worden sind.

Die *S. indubius*-Gruppe wurde 2006 von NAOMI definiert und ausführlich charakterisiert (wobei die ovalen Paraglossen noch nicht erwähnt wurden). Damals waren nur einfache Arten bekannt, 2011 kamen auch solche mit rötlichen Flecken auf den Elytren hinzu (aus Taiwan); der schon 1968 aus Vietnam beschriebene *Stenus vietnamensis* PUTHZ wurde erst später als Angehöriger der *S. indubius*-Gruppe identifiziert. Dass neues Material immer wieder einmal dazu führt, die ursprüngliche Gruppendifinition zu erweitern, hat sich auch in dieser Gruppe gezeigt. So sind Arten bekannt geworden, die im Spermathekenbau von der ursprünglich definierten Gestalt abweichen (*S. pectorifossatus* TANG, *S. zhuxiaoyui* TANG und *S. erlangshanus* TANG), und in dieser Arbeit werden fünf Arten beschrieben, deren innerer Bau des Aedoeagus (mit getrennten Ausstülpungen) vom Gros der bisher bekannten Arten abweicht (*S. detestabilis* nov.sp., *S. doryphorus* nov.sp., *S. impressicollis* nov.sp., *S. tumidulipennis* nov.sp., *S. zhemoshanus* nov.sp.). Ob in der *S. indubius*-Gruppe vielleicht Untergruppen unterschieden werden sollten, wird die Zukunft zeigen. Die prinzipielle Plastizität der Gruppe wird – darauf soll auch hier noch einmal hingewiesen werden – auch am Abdomen der Arten deutlich: hier finden

sich Arten mit deutlichen Paratergiten, solche mit einer liniendünnen Naht, andere mit einer nur angedeuteten Seitennaht bis zu seitlich völlig nahtlosem Abdomen.

In dieser Arbeit beschreibe ich 22 neue Arten der *S. indubius*-Gruppe aus China und melde eine erstmalig für das Land. Damit sind nun 40 Arten aus diesem umfangreichen Gebiet bekannt. Wie schon mehrfach festgestellt, handelt es sich bei den Gruppenangehörigen vorwiegend um brachyptere bis aptere Bewohner der hohen Gebirge. Hier hat eine gewaltige Speziation stattgefunden, und wir dürfen deshalb mit einer noch weit größeren Artenzahl rechnen. Zum Vergleich: Aus Japan sind bisher 26 Arten bekannt, aus Korea 6 Arten und aus Thailand, Laos und Vietnam 3 Arten.

Äußerlich ähneln sich die einzelnen Arten außerordentlich, in mehreren Fällen wird eine Unterscheidung nur mithilfe der Genitalien möglich sein. Auch diese sind in mehreren Fällen im Umriss sehr ähnlich, lassen sich aber zum Beispiel durch ihren Innenbau und die Paramerengestalt/beborstung sicher trennen. Bemerkenswert ist auch, dass wir in dieser Gruppe auch wieder eine Art mit asymmetrischem Medianlobus finden (*S. tumoripennis* nov.sp., Abb. 141), was bisher nur von der *S. aeneas*-Gruppe aus Südamerika bekannt war. Was die Gestalt der Spermatheka angeht, so ist über deren Variationsbreite bisher noch viel zu wenig bekannt, weil von vielen Arten nur wenige Stücke vorliegen.

Die hier vorgelegten Beschreibungen der neuen Arten unterscheiden sich oft nur geringfügig und in wenigen Details; ich halte aber die detaillierte Beschreibung jeder Art für nötig, um eine Identifizierung auch nach äußeren Merkmalen möglich zu machen. Der Bestimmungsschlüssel der chinesischen Arten ist ein Versuch, sich durch das Labyrinth der außerordentlich ähnlichen Arten hindurchzufinden.

Material und Methoden

Die Untersuchung der Käfer erfolgte mithilfe eines Leitz-Binokulars mit Okularmikrometer und mit einem Carl-Zeiss-Zeichenmikroskop. Für die in den Beschreibungen angegebenen Messeinheiten gilt: 1 E = 0,025mm. Die Vorderkörpermaße geben die Länge vom Vorderrand der Augen bis zum Hinterrand der Elytren wieder. Die Genitalien wurden in Euparal eingebettet und im Durchlicht untersucht. Eine Digital-Kamera (Nikon Coolpix 995) wurde für die Fotos benutzt.

BZL..... Biologiezentrum Linz
 cKishimoto..... Tokyo (NMNST)
 cSmetana.....Tokyo (NMNST)
 cWatanabe..... Tokyo (NMNST)
 cP coll. Puthz (im SMNS)
 NHMG Muséum d' Histoire Naturelle, Genf
 NHMW Naturhistorisches Museum, Wien
 NMNST..... National Museum of Nature and Science, Tokyo
 SHNU..... Shanghai Normal University
 SMNS..... Staatliches Museum für Tierkunde, Stuttgart
 ZMP Zoologisches Museum, Prag

Folgende Abkürzungen werden benutzt: DE= average distance between eyes, mittlerer Augenab-

stand; E= Aedoeagus; EL= greatest length of elytra, größte Elytrenlänge; EW= greatest width of elytra, größte Elytrenbreite; FB= forebody, Vorderkörper (gemessen vom Vorderrand der Augen bis zum Hinterrand der Elytren); HT= holotype, Holotypus; HW= head width, Kopfbreite; ib = ibidem (at that very place); LE= length of eyes; PL= pronotal length, Pronotumlänge; PM = proportional measurements (1 unit = 0,025 mm), Proportionsmaße; PT/T = paratype/s, Paratypus/-en; PW= pronotal width, Pronotumbreite; SL= sutural length of elytra, Nahtlänge der Elytren.

Key to the Chinese species of the *Stenus indubius*-group sensu lato

(FB = forebody; S= sternum; Sp = spermatheca; T= tergum)

- 1 Abdominal segment 6 without a lateral suture or paratergites.....2
- Abdominal segment 6 with a lateral suture or with paratergites.....11
- 2 Elytra with orange spots3
- Elytra uniformly blackish4
- 3 Elytral spot larger, extending to the posterior margin of elytra (fig 7, TANG & LI 2012).
♂: E (figs 44-46, l. c.). ♀: Sp (fig. 50, l. c.). 4.0-4.7mm (FB 2.0-2.3mm). Guizhou (Gongtonggou)..... *yinziweii* TANG & LI
- Elytral spot smaller, not extending to the posterior margin of elytra (fig. 9, l.c.). E (figs 55-57, l. c.). ♀: Sp (fig. 61, l. c.). 4.3-5.0mm (FB 1.9-2.3mm). Guizhou (Baishagou).....
..... *zhaiyanbini* TANG & LI
- 4 Segment 3 with narrow paratergites. ♂: E (fig. 139). ♀: Sp (fig. 153). 3.8-5.0mm (FB 1.9-2.1mm). Shaanxi (Micang Shan)..... *micangmontium* nov.sp.
- Segment 3 without paratergites or a lateral separation line5
- 5 Smaller, FB <1.8mm6
- Larger, FB >1.8mm7
- 6 Median portion of frons slightly elevated, not extending beyond the level of medial eye margins; elytra slightly uneven, punctuation less dense, interstices about half as broad as diameter of punctures or larger. ♂: E (figs. 7D-G, TANG & al 2012). ♀: Sp (figs 7J, K, l. c.). 2.6-3.3mm (FB 1.4-1.7mm). Anhui (Mt. Tianzhu) *paradecens* TANG & al.
- Median portion of frons distinctly elevated, extending beyond the level of medial eye margins; elytra with irregular deep impressions, punctuation denser, interstices less broad than half diameter of punctures. ♂: Unknown. ♀: Sp (fig. 151). 3.1-3.6mm (F 1.6mm). Sichuan (Mt. Luoji)..... *luojimontis* nov.sp.
- 7 Punctuation of T7 denser, interstices less broad than diameter of punctures; elytra matt, punctuation very dense, rugose, interstices less broad than diameter of punctures8
- Punctuation of T7 less dense, interstices as broad or broader than diameter of punctures; elytra as above OR shiny, punctuation less dense, interstices often larger than diameter of punctures.....9
- 8 ♂: E (fig. 133). ♀ ♀ Sp (fig. 145). 3.8-4.2mm (FB 1.9mm). Shaanxi (Daba Shan)..... *detestabilis* nov.sp.
- ♂: E (fig. 127). ♀: Sp (fig. 146). 3.8-4.2mm (FB 1.9mm). Shaanxi (Daba Shan)..... *detestatus* nov.sp.
- 9 Pronotum and elytra with deep impressions (figs 33, 43). ♂: E (fig. 137). ♀: Sp (fig. 165). 4.0-4.7mm (FB 2.1mm). Sichuan (Emei Shan)..... *impressicollis* nov.sp.
- Pronotum and elytra without deep impressions (figs 2, 4, TANG & al. 2012)10
- 10 Elytra shorter (EL: EW 0.86-0.93). Habitus (fig. 4, l. c.). ♂: E (figs 8D-E, l. c.). ♀: Sp. (figs 8J, K, l.c.). 4.3-4.8mm (FB 2.0-2.3mm). Anhui (Guniujiang Reserve)..... *guniujiangensis* TANG & al.
- Elytra longer (EL: EW 0.95-0.96). Habitus (fig. 2, l. c.). ♂: E (figs 6E-G, l. c.). ♀: Sp. (figs 6K, l. c.). 4.0-4.3mm (FB 2.0-2.2mm). Zhejiang (Qingliangfeng N. R.) *zhujiangqingi* TANG & al.
- 11 T3-6 with distinct paratergites.....12

- T3-6 only with lateral suture	17
12 Elytra with an orange spot (e. g. figs 54-59)	13
- Elytra black	16
13 Head broader (HW: EW >1.18), elytral spot larger, longer than one third of the elytral length, abdomen distinctly reticulated.....	14
- Head less broad (HW: EW ≤1.05, elytral spot at most one third as long as the elytra, abdomen at most with faint reticulation. ♂ E (fig. 110, PUTHZ 2011). ♀: Sp (fig. 167; fig. 112, l. c.). 4.3-4.8mm (FB 2.1-2.3mm). Vietnam. China (Hainan (Limushan), Taiwan).....	<i>vietnamensis</i> PUTHZ
14 Elytra (fig. 31, PUTHZ, l.c.). ♂: E (fig. 117, l. c.). ♀: Sp (fig. 113, l. c.). 4.0-5.4mm (FB 2.0-2.2mm). China (Taiwan).....	<i>electristigma</i> PUTHZ
- Elytra and E otherwise	15
15 Elytra (fig. 33, PUTHZ, l.c.). ♂: E (fig. 109, l. c.). ♀: Sp (about as in fig. 112, l. c.). 5.0-6.0mm (FB 2.4-2.7mm). China (Taiwan).....	<i>shibatai</i> PUTHZ
- Elytra (fig. 34, PUTHZ, l.c.). ♂: E (fig. 111, l. c.). ♀: Sp unknown. 4.6mm (FB 2.3mm). China (Taiwan).....	<i>shibataiellus</i> PUTHZ
16 Larger; FB ≥2.5mm. ♂: E (fig. 140). ♀: Sp (fig. 154). 4.8-5.5mm. Shaanxi (Daba Shan)....	
.....	<i>scabripunctus</i> nov.sp.
- Smaller, FB ~1.8mm. ♂: E (fig. 125). ♀ unknown. 3.5-4.0mm. Shaanxi (Daba Shan).....	<i>dabacola</i> nov.sp.
17 Elytra with ± (often slightly) distinct reddish markings.....	18
(consider also <i>S. xueshanus</i> nov.sp. below)	
- Elytra entirely blackish.....	24
18 Elytra very uneven, with a conspicuous central bump (figs 56, 59).....	19
- Elytra not or only less uneven	21
19 Punctuation of T7 finely and moderately dense, interstices much broader than diameter of punctures (fig. 79). ♂: E (fig. 141). ♀: Sp (fig. 155). 3.8-4.2 (FB 1.8-2.1mm). Yunnan (Gaoligong Shan).....	<i>tumoripennis</i> nov.sp.
- Punctuation of T7 moderately coarse and much denser, interstices at most as broad as diameter of punctures (figs 82, 84).....	20
20 Elytra broader (EW: EL >1.15). Elytral punctuation less dense. ♂: E (fig. 135). ♀: Sp (figs. 156, 157). 3.5-4.0 (FB 1.7-2.0mm). Yunnan (Diancang Shan)	<i>tumidulipennis</i> nov.sp.
- Elytra less broad (EW: EL <1.15). Elytral punctuation denser. ♂: E (fig. 129). ♀: Sp (fig. 149). 3.7-4.2 (FB 1.8-2.0mm). Sichuan (Erlang Shan).....	<i>erlanganus</i> nov.sp.
21 Punctuation of T7 less dense, interstices broader than diameter of punctures.....	22
- Punctuation of T7 denser, interstices at most as broad as diameter of punctures. ♂: E (figs 37-39, TANG & LI 2012). ♀: Sp ?. 3.8mm (FB 1.8mm). Guangdong (Taiyangshan).....	<i>taiyangshanus</i> TANG & LI
22 Larger. Elytral spot distinct. ♂: E (figs 5D-G, TANG & al. 2012). ♀: Sp (fig. 5K, l. c.)4.1-4.9mm. (FB 2.1-2.3mm). Guangxi (Anjiangping)	<i>huapingensis</i> TANG & al.
- Smaller. Elytra with smaller, slightly distinct markings.....	23
23 Lateral portions of frons very densely punctate, interstices much less broad than half diameter of puncture. ♂: Unknown. ♀: Sp (fig. 148). 3.4-4.2 (FB 1.8-1.9mm). Yunnan (Haba Shan).....	<i>habashanus</i> nov.sp.
- Larger. Lateral portions of frons less densely punctate, interstices broader than half diameter of punctures. ♂: E (fig. 138). ♀: Sp (fig. 152). 4.0-4.7 (FB 1.9-2.1mm). Sichuan (Mt. Luoji)	<i>luojiensis</i> nov.sp.
24 Punctuation of T3 denser, interstices predominantly less broad than half diameter of punctures	25
- Punctuation of T3 less dense, interstices predominantly broader than half diameter of punctures	29

- 25 Median portion of frons extending beyond the level of median eye margins26
 - Median portion of frons not extending the level of medial eye margins. ♂: E (fig. 124).
 ♀ Unknown. 3.8-4.7 (FB 1.9-2.0mm). Yunnan (mountains S Jianshui)
aequalifrons nov.sp.
- 26 Elytra with very deep longitudinal impressions, very uneven27
 - Elytra less uneven, without conspicuous long impressions28
- 27 Abdominal punctation denser, interstices on T3-T7 distinctly less broad than half diameter of punctures; posterior margin of S7 of male without emargination. ♂: E (figs 11, 12, Tang & Zhao 2008. ♀: Sp (fig. 13, l.c.). 3.6-4.1mm (FB 1.8-2.2mm). Sichuan (Hailuoguo)*pectorifossatus* TANG & ZHAO
 - Abdominal punctation less dense, interstices on T3-T7 distinctly broader than half diameter of punctures; posterior margin of S7 of male with a slight median emargination. ♂: E (fig. 130; figs 16, 17, TANG & ZHAO 2008). ♀: Sp (fig. 150; 18, l.c.). 3.4-4.0 (FB 1.8-2.2mm). Sichuan (Erlang Shan, Gongga Shan) ... *erlangshanus* TANG
 28 Head broader (HW: EW >1.08). Elytra with a deep/strong humeral impression. ♂: E (fig. 2a, TANG & PUTHZ 2009). ♀: Sp (fig. 2c, l. c.). 3.8-4.7 (FB 2.0-2.1mm). Shaanxi (Taibashan, Qinling Shan)*hui* TANG & PUTHZ
 - Head less broad (HW: EW ≤1.05). ♂: E (fig. 126). ♀: Sp (fig. 144). 4.0-4.5 (FB 1.9-2.1mm). Shaanxi (Daba Shan) *dabaensis* nov.sp.
- 29 Elytra conspicuously uneven, with a deep parasutural impression30
 - Elytra less uneven, impressions missing or slight34
- 30 Median portion of frons stronger elevated, extending beyond the level of median eye margins. ♂: E (figs 6, 7, TANG & ZHAO 2008). ♀: Sp (fig. 8, l. c.). 3.0-3.6mm (FB 1.6-1.9mm). Sichuan (Hailuoguo, Gongga Shan)*zhuxiaoyui* TANG & ZHAO
 - Median portion of frons less elevated, not extending beyond the level of median eye margins31
- 31 Smaller, FB ≤1.6mm32
 - Larger, FB ≥1.6mm33
- 32 Punctuation of T7 denser, interstices at most as broad as half diameter of punctures. Elytra broader. ♂: E (fig. 131). ♀: Sp (fig. 164). 2.8-3.4mm (FB 1.5-1.6mm). Sichuan (Niba Shan)*nibamontis* nov.sp.
 - Punctuation of T7 less dense, interstices often broader than diameter of punctures. Elytra less broad. ♂: E (fig. 132). ♀: Sp (fig. 163). 3.0-3.6 (FB 1.6mm). Sichuan (Xiling Shan)*xilingshanus* nov.sp.
- 33 Punctuation of lateral portions of frons denser, interstices distinctly less broad than half diameter of punctures. ♂: E (figs 6, 7, TANG & ZHAO 2008). ♀: Sp (fig. 8, l. c.). 3.0-3.6mm (FB 1.6-1.9mm). Sichuan (Hailuoguo, Gongga Shan)*zhuxiaoyui* TANG & ZHAO
 - Punctuation of lateral portions of frons less dense, interstices often broader than half diameter of punctures. ♂: E (figs 26-28, TANG & LI 2012). ♀: Sp (fig. 32, l. c.). 3.0-3.8mm (FB 1.6-1.9mm). Sichuan (Emei Shan)*hewenjiaie* TANG & LI
- 34 Median portion extending beyond the level of medial eye margins35
 - Median portion of frons not extending beyond the level of medial eye margin38
- 35 Punctuation of T7 denser, interstices not or slightly broader than diameter of punctures ...36
 - Punctuation of T7 less dense, interstices distinctly broader than diameter of punctures37
- 36 ♂: Unknown. ♀: Sp (fig. 147). Larger. 4.0-4.5mm (FB 2.0mm). Yunnan (Jizu Shan)
hajeki nov.sp.
 - ♂: E (fig. 136). ♀: Sp (figs 160-162). Smaller. 3.7-4.3mm (FB 1.8-1.9mm). Yunnan (Zhemo Shan) *zhemoshanus* nov.sp.
- 37 ♂: E (fig. 143). ♀: Sp (fig. 166). 3.9-4.2mm (FB 1.7-2.0mm). Yunnan (Zhongdian Co.)*hongdianus* nov.sp.
 - ♂: E (fig. 128). ♀: Unknown. 3.7-4.1mm (FB 1.8mm). Yunnan (Zhongdian Co.)
insperabilis nov.sp.

- 38 Punctuation of T7 denser, interstices not or slightly broader than punctures39
 - Punctuation of T7 less dense, interstices distinctly broader than diameter of punctures40
- 39 ♂: E (figs 15-17, TANG & LI 2012). ♀: Sp (fig. 21, l. c.). 3.8-4.7mm (FB 1.9-2.2mm).
 Yunnan (Cangshan, Diancang Shan)..... *cangshanus* TANG & LI
 - ♂: E (fig. 134). ♀: Unknown. 3.3-3.8mm (FB 1.8mm). Yunnan (Zhemo Shan).....
 *doryphorus* nov.sp.
- 40 Head broader (HW: EW >1.10).....41
 - Head less broad (HW: EW ≤1.06).....42
 ♂: Unknown. ♀: Sp (fig. 147). Larger. 4.0-4.5mm (FB 2.0mm). Yunnan (Jizu Shan)
 *hajeki* nov.sp.
- 41 Punctuation of T3 denser, interstices less broad than diameter of punctures. ♂: E (figs
 12, 13, TANG & al. 2016). ♀: Sp (fig. 11,l. c.). 3.2-4.2mm (FB 1.7-1.9mm). Zhejiang
 (Tianmushan) *tonghanggangus* TANG & al.
 - Punctuation of T3 less dense, interstices may become as broad as diameter of punctures.
 ♂: E (fig. 142). ♀: Sp (figs 158,159). 3.5-4.1mm (FB 1.8-2.0mm). Yunnan (Xue Shan)
 *xueshanus* nov.sp.
- 42 Punctuation of abdomen denser, interstices on T7 at most as broad as punctures. ♂
 unknown. ♀: Sp (fig. y). Larger. 4.0-4.5mm (FB 2.0mm). Yunnan (Jizu Shan; E
 Weishan) *hajeki* nov.sp.
 - Punctuation of abdomen less dense, interstices on T7 twice as broad as punctures. ♂: E
 (fig. 138). ♀: Sp (fig. 152). 4.0-4.7 (FB 1.9-2.1mm). Sichuan (Mt. Luoji).....
 *luojiensis* nov.sp.

***Stenus micangmontium* nov.sp. (Abb. 1, 22, 42, 66, 139, 153)**

M a t e r i a l : Holotypus (♂) und 1♀-Paratypus: CHINA: S Shaanxi, Micang Shan, 33 km S Hanzhang, 1300m, 32°44'44"N, 106°52'46"E, stream valley, forest margin, litter and soil sifted, 15.VIII.2010, M. Schülke (CH 12-30).- HT in cSchülke (Berlin), PT in cP.

B e s c h r e i b u n g : Brachypter, schwarz, schwach glänzend; Stirn mäßig grob und sehr dicht, Pronotum grob und sehr dicht, zum Teil leicht rugos, Elytren grob und dicht, Abdomen grob und dicht (vorn) bis fein und mäßig dicht (hinten) punktiert; Beborstung kurz, anliegend. Paraglossen oval. Fühler, Kiefertaster und Beine gelblich bis hellbraun, Fühlerkeule und Schenkelspitzen etwas dunkler. Oberlippe dunkelbraun, schmal heller gesäumt, Clypeus und Oberlippe wenig dicht beborstet. 3. Tergit mit sehr schmalen Paratergiten, 4.-5. Abdominalsegment nur beim ♀ mit seitlicher Naht, übrige Segmente ohne seitliche Trennungslinie, aber mit einer durch die Anordnung der Punktierung angedeuteten Seitenlinie; Tarsen gelappt.

Länge: 3,5-5,0mm (Vorderkörperlänge: 1,9-2,1mm).

PM des HT (in Klammern die des ♀-PT): HW: 36 (39,5); DE: 19 (21); PW: 27 (26); PL: 30,5 (29); EW: 34 (39); EL: 32 (35); SL: 21,5 (22).

Männchen: 8. Sternit am Hinterrand mit runder Ausrandung etwa im hinteren Siebtel des Sternits. 9. Sternit apikolateral mit kräftigen Apikolateralzähnen. 10. Tergit am Hinterrand breit abgerundet. Aedoeagus (Abb. 139), Apikalpartie des Medianlobus kurz, dreieckig zugespitzt, mit wenigen feinen Borsten; Innkörper mit starken Ausstülp-haken und einem ziemlich breitem, schlauchähnlichen Innensack; Parameren deutlich länger als der Medianlobus, an ihren Spitzen stark verschmälert, an der davor verbreiterten Partie mit etwa 10 längeren und 3 kurzen Borsten.

Weibchen: 8. Sternit am Hinterrand abgerundet, in der Mitte ganz leicht, stumpf vor-gezogen. Valvifer mit kräftigem Apikolateralzahn. Spermatheka (Abb. 153).

Kopf etwas breiter als die Elytren, Stirn mäßig breit, Längsfurchen breit und ziemlich tief, Mittelteil so breit wie jedes der Seitenteile, breitrund erhoben das Niveau der Augeninnenränder wenig überragend; Punktierung mäßig grob, mittlerer Punktdurchmesser höchstens so groß wie der mittlere Querschnitt des 3. Fühlergliedes, auf den Seitenteilen sehr dicht, die Punktzwischenräume hier deutlich kleiner als die Punktradien, am hinteren Mittelteil größer als die Punkte (Abb. 1). Fühler schlank, mit ihren letzten beiden Gliedern den Hinterrand des Pronotums überragend, vorletzte Glieder fast doppelt so lang wie breit. Pronotum etwas länger als breit, etwas vor der Mitte am breitesten, von dort nach vorn seitlich flachkonvex, nach hinten deutlich konkav verengt; Oberseite vergleichsweise mäßig uneben: in der Scheibenmitte ein vorn und hinten abgekürzter gut zweipunktebreiter Mitteleindruck, seitlich je ein wenig tiefen Schrägeindruck; Punktierung grob und sehr dicht, mittlerer Punktdurchmesser nicht ganz so groß wie der apikale Querschnitt des 2. Fühlergliedes, Punktzwischenräume kleiner als die Punktradien; im Bereich der Scheibe leichte Rugositäten (Abb. 22). Elytren trapezoid, wenig schmaler als der Kopf, deutlich breiter als lang, Schultern abgeschrägt, Seiten kräftig nach hinten erweitert, Hinterrand tief ausgerandet; Nahteindruck sehr flach, Schultereindruck mäßig tief, in hinteren Außenviertel ein deutlicher Längseindruck; Punktierung ähnlich grob wie am Pronotum, aber flacher und weniger gedrängt, Punktzwischenräume kleiner als die Punktradien (Abb. 42). Abdomen zylindrisch, basale Quereinschnürungen der vorderen Segmente tief, 7. Tergit am Hinterrand mit rudimentärem Hautsaum; Punktierung auf dem 3. Tergit etwa so grob wie auf der Stirn, aber weniger dicht, Punktzwischenräume hier größer als die Punktradien; nach hinten wird die Punktierung weniger grob, auf dem 7. Tergit sind die Punkte kleiner als der basale Querschnitt des 3. Fühlergliedes, ihre Abstände mindestens so groß wie die Punkte (Abb. 66). Beine schlank, Hintertarsen etwa fünf Siebtel schienenlang, ihr 1. Glied kaum kürzer als die drei folgenden Glieder zusammengenommen, deutlich länger als das Klauenglied, 4. Tergit tief gelappt. Die gesamte Oberseite ist flach genetzt.

D i f f e r e n z i a l d i a g n o s e : Diese neue Art gehört in die *S. indubius*-Gruppe. Zur Unterscheidung von den übrigen Gruppenvertretern vgl. die Bestimmungstabelle.

E t y m o l o g i e : Der Name dieser neuen Art ist von ihrem Fundort abgeleitet.

***Stenus impressicollis* nov.sp. (Abb. 2, 33, 43, 69, 110, 120, 137, 165)**

M a t e r i a l : Holotypus (♂) und 1♂-Paratypus: CHINA: Sichuan, Emei Shan, Leidongping, 2310-2350m, Emeishan-shi, 5.X.1996, S. Nomura; Paratypen: 1♀: Emei Shan, 3000m, 20°32'N, 103°21'E, 17.VII.1996, A. Smetana, J. Farkač & P. Kabátek (C 64); 2♀♀: Emei Shan, 2289m, 29°32'57.2"N, 103°20'37.7"E, sifting 35, V. Grebennikov.- HT in cWatanabe, PTT in cSmetana, in der CNC und in cP.

B e s c h r e i b u n g : Brachypter, Kopf schwarzbraun, Pronotum und Elytren dunkel kastanienbraun, Abdomen dunkelbraun, mäßig glänzend; Stirn grob und dicht punktiert, Pronotum etwas gröber, dicht, rugos skulptiert, Elytren ähnlich grob, aber etwas weniger dicht, kaum rugos punktiert, Abdomen vorn grob und ziemlich dicht, hinten ziemlich fein und ziemlich dicht punktiert; Behaarung kurz, anliegend. Paraglossen oval. Fühler, Kiefertaster und Beine gelblich, gelblichbraun bis rötlichgelb, Knie nicht dunkler. Clypeus braun, Oberlippe braun, nach vorne heller, beide mäßig dicht beborstet. Abdomen seitlich komplett ungerandet, 4. Tarsenglied sehr schmal gelappt.

Länge: 4,3-5,0mm (Vorderkörperlänge: 2,0-2,3mm).

PM (HT in Klammern): HW: 38-40 (38,5); DE: 22-23 (23); PW: 28,5-30,5 (30); PL: 30-33,5 (32,5); EW: 35-38 (36); EL: 31-34,5 (33); SL: 23-26 (24,5).

Männchen: 8. Sternit am Hinterrand nur sehr flach ausgerandet (23: 1). 9. Sternit apikolateral mit langem Zahn (Abb. 110). 10. Tergit am Hinterrand breit abgerundet. Aedeagus (Abb. 137), Medianlobus nach vorn verbreitert und daselbst nach konkavem Bogen in eine ziemlich breit abgerundete Spitze verengt, seitlich mit wenigen kurzen Borsten; Innenkörper ohne sklerotisierte Ausstülpungen, aber mit einem kurzen, breiten, sich nach vorn in eine Trichteröffnung verengenden Innensack; Parameren deutlich länger als der Medianlobus, an ihren Spitzen mit etwa 8 kurzen Borsten.

Weibchen: 8. Sternit am Hinterrand breit, kontinuierlich abgerundet, Valvifer mit langem, spitzem Apikolateralzahn (Abb. 120). 10. Tergit wie beim Männchen. Spermatheka klein, nur aus einem gedrehten Schlauch bestehend (Abb. 165).

Kopf breiter als die Elytren, Stirn breit, mit tiefen Längsfurchen, Mittelteil so breit wie jedes der Seitenteile, stark beulenförmig erhoben, deutlich das Niveau der Augeninnenränder überragend; Punktierung grob und dicht, aber nicht gedrängt, mittlerer Punktdurchmesser etwa so groß wie der mittlere Querschnitt des 3. Fühlergliedes, Punktzwischenräume wiederholt so groß wie die Punktradien, auch auf der Höhe des Mittelteils nur selten punktgroß (Abb. 2). Fühler wenig lang, zurückgelegt bis ins hintere Pronotumviertel reichend, vorletzte Glieder wenig länger als breit. Pronotum etwas länger als breit, etwa in der Mitte am breitesten, von dort seitlich nach vorn flachkonvex, nach hinten kräftig konkav verengt; die Oberfläche ist auffällig uneben: außer einem tiefen, mittleren Längseindruck befinden sich, jederseits der Mitte drei weitere Eindrücke, vorn und hinten sowie seitlich (Abb. 33); die Skulptur wirkt, auch wegen der Eindrücke, unordentlich, der mittlere Punktdurchmesser ist fast so groß wie der apikale Querschnitt des 2. Fühlergliedes, die wulstförmigen Punktzwischenräume sind oft größer als die Punktradien. Elytren trapezoid, schmaler als der Kopf, erheblich breiter als lang, Schultern schräg, Seiten flachkonvex erweitert, mit einer flachen mittleren Delle, Oberfläche ziemlich uneben: neben einem langen Nahteindruck werden ein tiefer Schultereindruck und ein ebenso tiefer Eindruck im hinteren Außenviertel sehr deutlich; die Punktierung ist etwa ebenso groß wie am Pronotum, aber flacher und nicht ganz so dicht, im Nahteindruck erreichen die Punktzwischenräume Punktgröße (Abb. 43). Abdomen zylindrisch basale Quereinschnürungen der vorderen Segmente sehr tief, Hinterrand des 7. Tergits mit einem rudimentären Hautsaum; auf dem 3. Tergit ist die Punktierung gut so grob wie auf der Stirn, die Punktzwischenräume sind überwiegend gut so groß wie die Punktradien, nach hinten wird die Punktierung weniger grob, auf dem 7. Tergit sind die Punkte wenig kleiner als der basale Querschnitt des 3. Fühlergliedes, ihre Abstände etwa so groß wie die Punkte (Abb. 69). An den Beinen sind die Hintertarsen nicht ganz zwei Drittel schienenlang, ihr 1. Glied ist etwa so lang wie die drei folgenden Glieder zusammengenommen, viel länger als das Klauenglied, das 4. Glied ist lang und sehr schmal gelappt. Die Oberseite ist ohne Mikroskulptur.

Differenzialdiagnose: Ich stelle diese neue Art vorläufig in die *S. indubius*-Gruppe, obwohl ihre Genitalien von denen der meisten Gruppenvertreter abweichen. - Zur Unterscheidung von den übrigen Arten der *S. indubius*-Gruppe vgl. die Bestimmungstabelle.

Etymologie: Der Name dieser neuen Art bezeichnet die auffälligen Eindrücke ihres Pronotums (lat. *impressicollis* = mit Eindrücken am Pronotum).

***Stenus luojimontis* nov.sp. (Abb. 3, 24, 44, 68, 121, 151)**

M a t e r i a l : Holotypus (♂) und 1 ♀- Paratypus: CHINA: Sichuan, S Xichang, Mt. Luoji, 2300-2500m, 16.-24.VII.1996, S. Kurbatov.- HT im MHNG, PT in cP.

B e s c h r e i b u n g : Brachypter, schwarz mit schwachem Braunanflug, mäßig glänzend; Vorderkörper grob und dicht, Abdomen vorn wenig grob und mäßig dicht, hinten fein und wenig dicht punktiert; Beborstung kurz, anliegend. Paraglossen oval. Kiefertaster gelb, Fühler und Beine hellbraun, Schenkelspitzen etwas dunkler. Oberlippe braun, heller gesäumt, Clypeus und Oberlippe dünn beborstet. Abdomen seitlich vollständig ungerandet, 4. Tarsenglied sehr schmal gelappt.

Länge: 2,8-3,5mm (Vorderkörperlänge: 1,5-1,6mm).

PM des HT (des ♂- PT in Klammern): HW: 30,5 (30,5); DE: 18 (18); PW: 22,5 (23); PL: 23,5 (24); EW: 29 (30); EL: 24,5 (24); SL: 17 (17).

Männchen: Unbekannt.

Weibchen: 8. Sternit am Hinterrand breit, kontinuierlich abgerundet. Valvifer mit langem Apikolateralzahn (Abb. 121). 10. Tergit am Hinterrand breit abgerundet . Spermatheka (Abb. 151).

Kopf kaum breiter als die Elytren, Stirn breit, mit zwei tiefen Längsfurchen, Mittelteil so breit wie jedes der Seitenteile, beulenförmig erhoben, deutlich über das Niveau der Augeninnenränder hinausragend; Punktierung grob und dicht, aber nicht gedrängt, mittlerer Punktdurchmesser gut so groß wie der größte Querschnitt des 3. Fühlergliedes, Punktzwischenräume auf den Seitenteilen überwiegend kleiner als die Punktradien, aber nicht gratartig scharf (Abb. 3), auf der Höhe des hinteren Mittelteils größer, bis punktgroß. Fühler wenig lang, zurückgelegt bis ins hintere Pronotumviertel reichend, vorletzte Glieder wenig länger als breit. Pronotum kaum länger als breit, in den vorderen, seitlich konvexen, zwei Dritteln am breitesten, hinten kräftig konkav eingeschnürt; die Oberseite ist ziemlich uneben: in der Längsmitte wird ein tiefer Mitteleindruck deutlich, jederseits von ihm befindet sich je ein kräftiger Schrägeindruck; die Punktierung ist unterschiedlich grob, vorn und hinten sind die Punkte gut so groß wie diejenigen der Stirn, in der Mitte der Scheibe kleiner, hier wiederholt nur so groß wie der basale Querschnitt des 3. Fühlergliedes, die Punktzwischenräume sind überwiegend kleiner als die Punktradien, der Mitteleindruck ist unpunktiert (Abb. 24). Elytren trapezoid, viel breiter als lang, Schultern schräg, Seiten flachkonvex (mit kleiner Mitteldelle) erweitert, Hinterrand tief ausgerandet; Nahteindruck lang und ziemlich tief, Schultereindruck sehr lang und, besonders vorn, sehr tief, dazwischen sind die Elytren leicht kielförmig erhoben, in der Längsmitte kann auch ein kleine Beule entstehen; Punktierung etwa so grob wie auf der Stirn, seitlich so dicht wie am Pronotum, im Nahteindruck weniger dicht, hier können die Punktzwischenräume bis punktgroß werden (Abb. 44). Abdomen zylindrisch, basale Querfurchen der vorderen Segmente sehr tief, Hinterrand des 7. Tergits mit einem rudimentären Hautsaum; auf dem 3. Tergit sind die Punkte wenig feiner als diejenigen der Stirn, aber viel weniger dicht, ihre Abstände oft punktgroß; nach hinten wird die Punktierung feiner, aber nicht dichter, auf dem 7. Tergit sind die Punkte feiner als eine Facette am Innenrand der Augen, ihre Abstände größer als die Punkte (Abb. 68). An den Beinen sind die Hintertarsen gut zwei Drittel schienenlang, ihr 1. Glied ist deutlich länger als die beiden folgenden Glieder zusammengenommen und auch deutlich länger als das Klauenglied, das 4. Glied ist sehr schmal gelappt. Die gesamte Oberseite ist ungenetzt.

Differenzialdiagnose: Diese neue Art gehört in die *S. indubius*-Gruppe, in der sie wegen ihres seitlich ungerandeten Abdomens und ihrer geringen Größe an *S. paradecens* TANG & al. erinnert. Von ihm lässt sie sich aber sofort durch ihren viel stärker unebenen Vorderkörper und die stärker erhobene Stirnmitte unterscheiden, ganz abgesehen von der Spermathek.- Von den übrigen Arten der *S. indubius*-Gruppe unterscheidet man sie wie im Bestimmungsschlüssel angegeben.

Etymologie: Der Name dieser neuen Art ist von ihrem Fundort abgeleitet.

***Stenus detestabilis* nov.sp. (Abb. 4, 25, 46, 67, 71, 106, 119, 133, 145)**

Material: Holotypus (♂) und 1 ♂-Paratypus: CHINA: W Hubei, Daba Shan, pass E of Mt. Dashennongjia, 12 km NW Muyuping, 2050m, 31°30'N, 110°21'E, 19.VII.2001, A. Smetana (C 112); 1 ♀- Paratypus: Dashennongjia mountains, 2100-2900m, 31°5'N, 110°3'E, 14.II.2002, J. Tuma.- HT in cSmetana, je ein PT im NHMW und in cP.

Beschreibung: Brachypter, schwarz, matt; grob und sehr dicht, Pronotum und Elytren auch leicht rugos, punktiert/skulptiert; kurz, anliegend beborstet. Paraglossen oval. Fühler, Kiefertaster und Beine gelblich bis hellbraun, Fühlerkeule und Schenkelspitzen etwas dunkler. Oberlippe dunkelbraun, heller gesäumt, Clypeus und Oberlippe dicht beborstet. Abdomen zylindrisch, mit angedeuteter (aber nicht wirklich vorhandener) Seitennaht (Abb. 71), 4. Tarsenglied gelappt.

Länge: 3,3-4,3mm (Vorderkörperlänge: 1,7-1,9mm).

PM des HT (in Klammern der ♂-PT und der ♀-PT): HW: 34 (31,5; 38); DE: 18,5 (17; 21); PW: 25 (24; 28); PL: 28 (27; 32); EW: 32 (28; 34,5); EL: 30 (27; 33); SL: 21 (20; 23,5).

Männchen: 8. Sternit am Hinterrand mit sehr flacher Ausrandung (20: 1). 9. Sternit mit starken Apikolateralzähnen (Abb. 106). 10. Tergit am Hinterrand breit abgerundet. Aedoeagus (Abb. 133), Medianlobus nach konkavem Bogen in eine breit abgerundete Spitze verengt, seitlich mit wenigen feinen Borsten; Innenkörper mit dünnen, gebogenen Ausstülpungen und einem breittubigen Innensack; Parameren kürzer als der Medianlobus, an ihren Spitzen mit etwa 6 langen Borsten.

Weibchen: 8. Sternit am Hinterrand sehr breit abgerundet, in der Mitte leicht vorgezogen. Valvifer apikal mit langem Zahn (Abb. 119). 10. Tergit wie beim Männchen. Spermatheka (Abb. 145) (vgl. aber auch unten!).

Kopf wenig breiter als die Elytren, Stirn ziemlich breit, mit zwei tiefen Längsfurchen, Mittelteil so breit wie jedes der Seitenteile, beulenförmig erhoben, das Niveau der Augeninnenränder überragend; Punktierung grob und sehr dicht, mittlerer Punktdurchmesser fast so groß wie der apikale Querschnitt des 2. Fühlergliedes, Punktzwischenräume, auch am Mittelteil, viel kleiner als die Punktradien (Abb. 4). Fühler ziemlich schlank, zurückgelegt knapp über den Hinterrand des Pronotums hinausragend, vorletzte Glieder um ein Drittel länger als breit. Pronotum etwas länger als breit, etwa in der Mitte am breitesten, von dort seitlich nach vorn flachkonvex (bis schräg) verengt, nach hinten deutlich konkav eingeschnürt; in der sehr dichten Skulptur fallen die vergleichsweise flachen Eindrücke wenig auf; Punktierung etwa so grob wie auf der Stirn, aber tiefer eingestochen und kurz-rugos, Punktzwischenräume überall kleiner als die Punktradien (Abb. 25). Elytren trapezoid, breiter als lang, Schultern schräg, Seiten zuerst lang-gerade erweitert, im hinteren Drittel eingezogen, Hinterrand breit ausgerandet; Nahteindruck

ziemlich flach, Schultereindruck und je ein Längseindruck im hinteren Außenviertel tief; Punktierung/Skulptur gröber als am Pronotum, Punkte können die Größe des mittlerer Querschnittes des 2. Fühlergliedes erreichen, Punktzwischenräume kleiner als die Punktradien (Abb. 46). Abdomen zylindrisch, basale Querschnitte der vorderen Segmente sehr tief, 7. Tergit am Hinterrand mit rudimentärem Hautsaum; Punktierung vorn so grob und fast so dicht wie auf der Stirn; nach hinten wird sie feiner, auf dem 7. Tergit sind die Punkte noch so groß wie der basale Querschnitt des 3. Fühlergliedes, ihre Abstände kleiner als die Punkte Abb. 67). An den Beinen sind die Hintertarsen etwa zwei Drittel schienenlang, ihr 1. Glied ist fast so lang wie die drei folgenden Glieder zusammengenommen, viel länger als das Klauenglied; das 4. Glied ist schmal gelappt. Die Oberseite des Vorderkörpers zeigt allenfalls Netzungsspuren, die Abdomenspitze ist ab Tergit 7 genetzt.

Bemerkung: Da sich diese neue Art äußerlich nicht sicher von *S. detestatus* nov.sp., der im gleichen Gebiet lebt, unterscheiden lässt und bisher zu weniger Weibchen bekannt geworden sind, kann nicht ausgeschlossen werden, dass das hier zu *S. detestabilis* gestellte Weibchen vielleicht doch zu *S. detestatus* gehört oder *vice versa*!

Differenzialdiagnose: Diese neue Art gehört in die *S. indubius*-Gruppe, in der sie durch ihre sehr grobe und sehr dichte Abdominalpunktierung und ihren vergleichsweise ebenen Vorderkörper auffällt. Sie lässt sich von *S. detestatus* nov.sp., der im gleichen Gebiet lebt, äußerlich nicht sicher unterscheiden!

Etymologie: Weil sie sich von *S. detestatus* äußerlich nicht klar trennen lässt, nenne ich sie "unbequem/unerwünscht" (Lat. *detestabilis*)

***Stenus detestatus* nov.sp. (Abb. 5, 26, 45, 70, 107, 127, 146)**

Material: Holotypus (♂) und 1♂- Paratypus: CHINA: W Hubei, Daba Shan, mountain range NE Muyuping, pass 12 km N Muyuping, 2300m, 31°32'N, 110°26'E, N pass, N slope with young deciduous forest, bank of small creek, moss (sifted), 17.VII.2001, M. Schülke (C 01-15); 1♀- Paratypus: ibidem, A. Smetana (C 107).- HT in cSchülke, je ein PT in cSmetana und in cP.

Beschreibung: Kurzbeschreibung wie bei *S. destabilis* nov.sp. (s.o.).

Länge: 3,8-4,5mm (Vorderkörperlänge: 1,8-2,0mm).

PM des HT: HW (in Klammern die des ♂- PT und die des ♀- PT): 35 (35; 36,5); DE: 19 (19; 20); PW: 26 (25,5; 28); PL: 29 (29; 30); EW: 31 (32; 34); EL: 31 (30, 32); SL: 23 (22,5; 23).

Männchen: 8. Sternit mit sehr flacher Apikalausrandung (22: 1,5). 9. Sternit und 10. Tergit wie bei *S. detestabilis*. Aedoeagus (Abb. 127), Medianlobus nach konkaven Bogen in eine scharfe Spitze verengt, seitlich mit wenigen kurzen Borsten; Innenkörper mit breiten, kurzen Ausstülpungen, Innensack vorn rundlich erweitert; Parameren kürzer als der Medianlobus, an ihren Spitzen mit 4-6 Borsten.

Weibchen: 8. Sternit am Hinterrand breit abgerundet, in der Mitte deutlich leicht vorgezogen. Valvifer mit starkem Apikolateralzahn. Spermatheka (Abb. 146) (s. a. Bemerkung oben bei *S. detestabilis*).

Differenzialdiagnose: Diese neue Art lässt sich äußerlich nicht von *S. detestabilis* unterscheiden! (s. a. Abb. 5, 26, 45, 70, 107).

E t y m o l o g i e : Weil sie sich von *S. detestabilis* äußerlich nicht klar trennen lässt, nenne ich sie "unbequem/unerwünscht" (Lat. *detestatus*).

***Stenus scabripunctus nov.sp.* (Abb. 6, 27, 47, 72, 73, 113, 140, 154)**

M a t e r i a l : Holotypus (♂) und 2♂♂-Paratypen: CHINA: Shaanxi, Daba Shan mt. range, N pass 22 km NW Zhenping, 2850m, 32°01'N, 109°21'E, 14.VII.2001, A. Smetana (C 103); 1♂, 1♀-Paratypen: ibidem, N slope near mountain top, *Abies*, bushes, dead wood (sifted), 14.VII.2001, M. Schülke (C 01-12).- HT und 1 PT in cSmetana, PTT auch in cSchülke und in cP.

B e s c h r e i b u n g : Brachypter, schwarz, schwach glänzend; grob bis sehr grob und sehr dicht, am Pronotum und auf den Elytren auch rugos punktiert/skulptiert; Beborstung kaum auffällig. Paraglossen oval. Kiefertaster und Fühlerbasis hellbraun, Fühlerkeule dunkler, Beine rötlichgelb, Schenkelspitzen wenig dunkler. Oberlippe dunkelbraun, heller gesäumt, Clypeus und Oberlippe ziemlich dicht beborstet. Abdomen mit schmalen Paratergiten, 4. Tarsenglied lang und schmal gelappt.

Länge: 4,2-5,4mm (Vorderkörperlänge: 2,4.2,7mm).

PM des HT (in Klammern der ♀-PT): HW: 41 (45); DE: 25 (27,5); PW: 33 (37); PL: 37,5 (42); EW: 39 (45); EL: 40 (46); SL: 31 (33).

Männchen: Vordersternite einfach, 6. Sternit in der Hinterhälfte mit breitem, hufeisenförmigem Eindruck, darin fein und dicht punktiert und beborstet, 7. Sternit mit breitem Mitteleindruck, darin fein und besonders hinten sehr dicht punktiert und beborstet, Hinterrandmitte flach ausgerandet. 8. Sternit mit schmaler Ausrandung im hinteren Achtel des Sternits. 9. Sternit apikolateral mit ziemlich breitem Zahn (Abb. 113). 10. Tergit breit abgerundet. Aedoeagus (Abb. 140), Apikalpartie des Medianlobus spitzwinklig in eine mäßig breit abgerundete Spitze verengt; im Innern werden starke, median unverbundene Ausstülpungen und ein kurzer, ziemlich breiter Innensack deutlich, Parameren länger als der Medianlobus, zur Spitze erweitert und daselbst mit 13-15 sehr langen Borsten.

Weibchen: 8. Sternit am Hinterrand nach leicht konkavem Bogen in einen ziemlich schmalen Mittelvorsprung verengt. Valvifer mit vergleichsweise kurzem Apikolateralzahn. 10. Tergit wie beim Männchen. Spermatheka (Abb. 154).

Kopf wenig (♂) oder nicht (♀) breiter als die Elytren, Stirn breit, mit zwei tiefen Längsfurchen, Mittelteil fast so breit wie jedes der Seitenteile, auffällig stark beulenförmig erhoben, weit über das Niveau der Augeninnenränder hinausragend; Punktierung grob und fast überall sehr dicht, mittlerer Punktdurchmesser fast so groß wie der apikale Querschnitt des 2. Fühlergliedes, Punktzwischenräume deutlich kleiner als die Punktradien, nur auf dem First des erhobenen Mittelteils bis punktgroß (Abb. 6). Fühler ziemlich lang, zurückgelegt etwa den Hinterrand des Pronotums erreichend, 9. Glied etwa doppelt so lang wie breit, 10. Glied etwas kürzer. Pronotum deutlich länger als breit, etwa in der Mitte am breitesten, von dort seitlich nach von flach konvex, nach hinten deutlich konkav verengt; die Oberseite ist sehr uneben: ein langer Mitteleindruck erstreckt sich fast über die gesamte Länge des Pronotums, seitlich davon im vorderen Drittel ein ziemlich tiefer Längseindruck (zwischen beiden Eindrücken kann eine kielartige Längserhebung deutlich werden), außerdem je ein kräftiger Schrägeindruck in mittlerer Höhe; Skulptur grob bis sehr grob, sehr dicht, unordentlich-rugos (Abb. 27). Elytren schwach trapezoid, kaum länger als breit, Schultern leicht abgeschrägt, Seiten

lang gerade (mit schwacher Delle) wenig erweitert, im hinteren Fünftel mäßig eingezogen, der Hinterrand breit ausgerandet; die Oberseite ist ziemlich uneben: neben einem langen Nahteindruck wird ein langer Seiteneindruck deutlich, der hinter den Schultern besonders tief ist und hier zwischen dem Nahteindruck eine kantenähnliche Längserheben hervortreten lässt; Punktierung/Skulptur gröber als am Pronotum, ebenfalls sehr dicht (Abb. 47). Abdomen zylindrisch, Paratergite schmal, leicht ventrad geneigt, diejenigen des 4. Tergits fast so breit wie das 2. Fühlerglied, grob und ziemlich dicht punktiert (Abb. 72); basale Querfurchen der vorderen Tergite tief, 7. Tergit mit deutlichem apikalem Hautsaum; Punktierung vorn sehr grob und sehr dicht, hinten grob und ebenfalls sehr dicht, auf dem 7. Tergit sind die Punkte noch fast so groß wie der mittlere Querschnitt des 3. Fühlergliedes, ihre Abstände aber auch hier deutlich schmaler als die Punktradien (Abb. 73). An den Beinen sind die Hintertarsen fast vier Fünftel schienenlang, ihr 1. Glied ist etwas länger als die beiden folgenden Glieder zusammengenommen, deutlich länger als das Klauenglied; das 4. Glied ist tief gelappt. Die gesamte Oberseite ist netzungefrei.

Differenzialdiagnose: Diese neue Art fällt in der *S. indubius*-Gruppe unter anderem durch ihre bedeutende Größe und ihre außerordentlich grobe und dichte Punktierung, vor allem des Abdomens, auf.- Zur Unterscheidung von den übrigen Gruppenvertretern vgl. die Bestimmungstabelle.

Etymologie: Wegen ihrer Skulptur nenne ich diese neue Art "*scabripunctus*" (Lat.= rau punktiert).

***Stenus dabacola* nov.sp. (Abb. 7, 28, 48, 74, 75, 104, 125)**

Material: Holotypus (♂): CHINA: W Hubei, Daba Shan, pass E of Mt. Dashennongjia, 12 km NW Muyuping, 1950-2050m, 31°30'N, 110°21'E, dry creek valley, mixed deciduous forest, dead wood, mushrooms, moss (sifted), 22.VII.2001, M. Schülke (C 91-13E): in cSchülke (Berlin).

Beschreibung: Brachypter, schwarz, schwach schimmernd; grob und sehr dicht punktiert; Behaarung kurz, anliegend. Paraglossen oval. Fühlerbasis und Kiefertaster gelblich, Fühlerkeule gebräunt, Beine rötlichgelb, Schenkelspitzen kurz gebräunt. Oberlippe dunkelbraun, schwach heller gesäumt, Clypeus und Oberlippe mäßig dicht behaart. Abdomen mit schmalen, unauffälligen Paratergiten, 4. Tarsenglied schmal gelappt.

Länge: 3,3-4,1mm (Vorderkörperlänge: 1,8mm).

PM des HT: HW: 34,5; DE: 18; PW: 26; PL: 29; EW: 30; EL: 30; SL: 22.

Männchen: 8. Sternit am Hinterrand mit sehr flacher Ausrandung (21,5: 1). 9. Sternit mit kräftigen Apikolateralzähnen (Abb. 104). 10. Tergit am Hinterrand breit abgerundet. Aedoeagus (Abb. 125), Medianlobus nach vorn verbreitert und dann in geschwungenem Bogen in eine deutlich abgesetzte Spitze verengt, seitlich mit wenigen kurzen Borsten; im Innern (beim HT ausgestülpt) werden starke Ausstülphaken und ein langer, tubiger Innensack deutlich; Parameren wenig länger als der Medianlobus, zur Spitze verschmälert und daselbst mit 5 Borsten.

Weibchen: Unbekannt.

Kopf deutlich breiter als die Elytren, Stirn mäßig breit, mit zwei deutlichen Längsfurchen, Mittelteil etwas schmaler als jedes der Seitenteile, deutlich, aber nicht stark erhoben, nicht die Höhe des Niveaus der Augeninnenränder erreichend; Punktierung grob

und überall sehr dicht, mittlerer Punktdurchmesser nicht ganz so groß wie der apikale Querschnitt des 2. Fühlergliedes, Punktzwischenräume viel kleiner als die Punktradien (Abb. 7). Fühler ziemlich lang, zurückgelegt überragt höchstens das 11. Glied den Hinterrand des Pronotums, vorletzte Glieder um ein Drittel länger als breit. Pronotum etwas länger als breit, hinter der Mitte am breitesten, vorn dort seitlich nach vorn zuerst gerade, dann schräg verengt, hinten kräftig konkav eingeschnürt; ein mittlerer Längseindruck und je ein seitlicher Schrägeindruck in mittlerer Höhe werden in der dichten Skulptur nur mäßig deutlich; Punktierung gut so grob wie auf der Stirn, sehr dicht, selten leicht rugos, Punktzwischenräume deutlich kleiner als die Punktradien (Abb. 28). Elytren trapezoid, so lang wie breit, Schultern schräg, Seiten lang gerade erweitert, im hinteren Viertel mäßig eingezogen, Hinterrand breit ausgerandet; Naht- und Schultereindruck werden in den dichten Skulptur wenig auffällig, ein Längseindruck in der hinteren Außenhälfte ist kräftiger ausgeprägt; Skulptur gut so grob und auch so dicht wie am Pronotum (Abb. 48). Abdomen zylindrisch, Paratergite ventrad geneigt, die des 4. Tergits etwas schmaler als das 2. Fühlerglied, ziemlich dicht punktiert (Abb. 75); basale Querfurchen der vorderen Tergite tief, 7. Tergit mit rudimentärem Hautsaum; Punktierung vorn gut so grob und fast so dicht wie auf der Stirn, hinten etwas feiner, auf dem 7. Tergit sind die Punkte noch so groß wie der basale Querschnitt des 3. Fühlergliedes, ihre Abstände kleiner als die Punkte (Abb. 74). An den Beinen sind die Hintertarsen gut fünf Siebtel schienenlang, ihr 1. Glied ist etwas kürzer als die drei folgenden Glieder zusammengenommen, viel länger als das Klauenglied, das 4. Glied ist lang und schmal gelappt. Die Elytren und die Abdomenspitze zeigen sehr schwache Netzungsspuren.

D i f f e r e n z i a l d i a g n o s e : Diese neue Art der *S. indubius*-Gruppe fällt durch ihre grobe, sehr dichte Abdominalpunktierung auf. Sie ist die Schwesterart des *S. detestatus* nov.sp. und sieht ihm auch bis auf ihre Paratergite und den unterschiedlichen Umriss des vorderen Medianlobus äußerst ähnlich.- Von den übrigen Nahverwandten unterscheidet sie sich wie in der Bestimmungstabelle angegeben.

E t y m o l o g i e : Der Name dieser neuen Art ist von ihrem Fundort abgeleitet.

***Stenus nibamontis* nov.sp. (Abb. 8, 29, 53, 65, 76, 77, 112, 131, 164)**

M a t e r i a l : Holotypus (♂) und 1♂, 1♀- Paratypen CHINA: Sichuan, Mt. Niba Shan, 2320m (Daxiang Ling Mts), Yingjing Xian, 26.IX.1996, N. Nomura.- HT und 1 PT in cWatanabe, 1 PT in cP.

B e s c h r e i b u n g : Brachypter, Kopf schwarz, restlicher Körper schwarz mit Braunanflug; Punktierung ziemlich grob, dicht; Beborstung kurz, anliegend. Paraglossen oval. Kiefertaster, Fühler und Beine rötlichgelb, Fühlerkeule gebräunt. Oberlippe dunkelbraun, breit heller gesäumt, Clypeus und Oberlippe ziemlich dicht beborstet. Abdomen mit vollständiger Seitennaht (Abb. 76), 4. Tarsenglied lang gelappt.

Länge: 2,8-3,4mm (Vorderkörperlänge: 1,5-1,6mm).

PM des HT (in Klammern der ♀-PT): HW: 32 (32); DE: 18 (18); PW: 23 (23); PL: 24 (24,5); EW: 27,5 (27,5); EL: 25 (25); SL: 18 (18,5).

Männchen: 8. Sternit in der Mitte des Hinterrandes mit sehr flacher Ausrandung (18: 1). 9. Sternit mit langen Apikolateralzähnen (Abb. 112). 10. Tergit am Hinterrand breit abgerundet. Aedoeagus (Abb. 131), Apikalpartie des Medianlobus kurz, in flachkonka-

vem Bogen in eine ziemlich breit abgerundete Spitze verengt, mit wenigen kurzen Seitenborsten; im Innern sehr große, median verbundene Ausstülpungen und ein proximal sackförmiger, distal tubiger Innensack; Parameren viel länger als der Medianlobus, zur Spitze leicht löffelförmig erweitert und daselbst mit mehr als 31 Borsten.

Weibchen: 8. Sternit am Hinterrand breit, kontinuierlich abgerundet. Valvifer mit langem Apikolateralzahn. 10. Tergit wie beim Männchen. Spermatheka (Abb. 164), Infundibulum lang und dünn.

Kopf deutlich breiter als die Elytren, Stirn breit, mit deutlichen Längsfurchen, Mittelteil wenig schmaler als jedes der Seitenteile, deutlich erhoben, aber nicht das Niveau der Augeninnenränder überragend; Punktierung mäßig grob und überall sehr dicht, mittlerer Punktdurchmesser etwas kleiner als der mittlere Querschnitt des 3. Fühlergliedes (Abb. 8), Punktzwischenräume mehrfach so groß wie die Punktradien. Fühler mäßig lang, zurückgelegt etwa bis zum Hinterrand des Pronotums reichend, vorletzte Glieder etwas länger als breit. Pronotum kaum länger als breit, knapp hinter der Mitte am breitesten, von dort seitlich nach vorn mäßig konvex, nach hinten deutlich konkav verengt; in der Längsmitte wird ein vorn und hinten abgekürzter, tiefer, weitläufig punktierter Längseindruck deutlich, je ein schräger Seiteneindruck ist ebenfalls deutlich; Punktierung kaum gröber als auf der Stirn, sehr dicht, kaum rugos, die wulstigen Punktzwischenräume kleiner als die Punktradien (Abb. 29). Elytren trapezoid, deutlich breiter als lang, Schultern schräg, Seiten lang konvex (mit deutlicher Seitendelle) erweitert, Hinterrand breit ausgerandet; der Nahteindruck ist lang und deutlich, der Schultereindruck und ein Längseindruck im hinteren Außenviertel sind tief, zwischen diesen und dem Nahteindruck sind die Elytren deutlich aufgetrieben; Punktierung etwas gröber als am Pronotum, aber weniger dicht, Punktzwischenräume mehrfach punktgroß (Abb. 53). Abdomen zylindrisch, basale Quereinschnürungen der vorderen Segmente sehr tief, 7. Tergit mit rudimentärem apikalem Hautsaum; Punktierung vorn etwa so grob wie auf der Stirn, aber weniger dicht, Punktzwischenräume hier deutlich größer als die Punktradien, bis punktgroß; nach hinten wird die Punktierung weniger grob, auf dem 7. Tergit sind die Punkte etwas kleiner als der basale Querschnitt des 3. Fühlergliedes, die Punktzwischenräume so groß wie die Punkte (Abb. 77). An den Beinen sind die Hintertarsen drei Viertel schienenlang, ihr 1. Glied ist kaum kürzer als die drei folgenden Glieder zusammengekommen, viel länger als das Klauenglied, das 4. Glied ist lang und schmal gelappt. Die gesamte Oberseite ist ungenetzt.

D i f f e r e n z i a l d i a g n o s e : Dies ist eine der kleinsten Arten der *S. indubius*-Gruppe. Ihr Aedoeagus erinnert im Umriss an diejenigen des *S. erlangshanus* TANG (vgl. Abb. 130) und *S. xilingshanus* nov.sp. Von beiden unterscheidet sie sich wie in der Bestimmungstabelle angeben.

E t y m o l o g i e : Der Name dieser neuen Art ist von ihrem Fundort abgeleitet.

***Stenus xilingshanus* nov.sp. (Abb. 116, 132, 163)**

M a t e r i a l : Holotypus (♂) und 1 ♂, 2 ♀ - Paratypen: CHINA: Sichuan, Xiling Mt.. 2000m, litter, 4.VIII.1996, S. Kurbatov; 3 ♂ ♂, 1 ♀ - Paratypen: ibidem 1300m, 30.VII.1996, idem.- HT und PTT im MHNG, PTT auch in cPuthz und cTang (SNHU).

B e s c h r e i b u n g : Brachypter, schwarz, mäßig glänzend; Stirn ziemlich grob und dicht, Pronotum und Elytren grob und sehr dicht, rugos punktiert/skulptiert, Abdomen vorn ziemlich grob und dicht, hinten mäßig fein und dicht punktiert; Beborstung kurz,

anliegend. Paraglossen oval. Kiefertaster gelb, Fühler und Beine bräunlichgelb, Oberlippe braun, nach vorn heller, Clypeus und Oberlippe ziemlich dicht beborstet. Abdominalsegmente mit vollständiger Seitennaht (die manchmal nur flach eingeschnitten ist, die Segmente also nicht vollständig trennt), 4. Tarsenglied tief gelappt.

Länge: 3,2-3,7mm (Vorderkörperlänge: 1,5-1,7mm).

PM des HT (in Klammern der größte ♀-PT): HW: 32 (36); DE: 17 (19); PW: 23,5 (25); PL: 26 (29); EW: 28 (31); EL: 25,5 (28); SL: 18 (21).

Männchen: 8. Sternit am Hinterrand mit flacher Ausrandung (17: 1). 9. Sternit mit langen Apikolateralzähnen (Abb. 116). 10. Tergit am Hinterrand breit abgerundet. Aedoeagus (Abb. 132) dem des *S. nibamontis* prinzipiell sehr ähnlich, der Medianlobus vorn aber breit abgerundet und daselbst häutig, mit mehreren kurzen Borsten; Ausstülp-haken etwas kleiner und von anderer Gestalt, Innensack breit-tubig; Parameren an ihren Spitzen mit etwa 17 Borsten.

Weibchen: 8. Sternit, Valvifer und 10 Tergit wie bei *S. nibamontis*. Spermatheka (Abb. 163).

In allen Punkten des Exoskeletts nicht sicher von *S. nibamontis* zu unterscheiden.

Differenzialdiagnose: Diese neue Art der *S. indubius*-Gruppe ähnelt genitaliter auch stark dem *S. erlangshanus* TANG, unterscheidet sich aber von ihm, abgesehen von den primären Sexualcharakteren, durch geringere Größe und breiteren Kopf.

Etymologie: Der Name dieser neuen Art ist von ihrem Fundort abgeleitet.

***Stenus habashanus* nov.sp. (Abb. 9, 30, 55, 78, 123, 148)**

M a t e r i a l : Holotypus (♀): CHINA: Yunnan, Haba Shan, 3352m, 27°22'03''N, 100°6'25''E, sift 28, 23.VI.2012, V. Grebennikov: in der CNC.

B e s c h r e i b u n g : Brachypter, schwarz, mit leichtem Braunstich, Elytren in der hinteren Außenhälfte mit kleiner, wenig deutlicher, rötlicher Makel, mäßig glänzend; Punktierung der Stirn ziemlich grob und sehr dicht, Pronotum und Elytren grob und dicht punktiert, Abdomen vorn mäßig grob und mäßig dicht, hinten ziemlich fein und ziemlich dicht punktiert; Beborstung anliegend. Paraglossen oval. Kiefertaster, Fühlerbasis und Schenkelbasis gelblich, Fühlerkeule gebräunt, Beine im Übrigen rötlichgelb bis hellbraun. Oberlippe dunkelbraun, schmal heller gesäumt, Clypeus und Oberlippe ziemlich dicht beborstet. Abdomen seitlich mit sehr dünner, vollständiger Naht, 4. Tarsenglied schmal gelappt.

Länge: 3,5-4,3mm (Vorderkörperlänge: 1,8-1,9mm).

PM des HT: HW: 34; DE: 20; PW: 27; PL: 28; EW: 33,5; EL: 29; SL: 21.

Männchen: Unbekannt.

Weibchen: 8. Sternit am Hinterrand abgerundet, in der Mitte kurz, ganz leicht vorgezogen. Valvifer mit sehr langem Apikolateralzahn (Abb. 123). 10. Tergit am Hinterrand abgerundet. Spermatheka (Abb. 148).

Kopf gut so breit wie die Elytren, Stirn breit, mit vergleichsweise wenig tiefen Längsfurchen, Mittelteil etwa so breit wie jedes der Seitenteile, stark beulenförmig erhoben, deutlich über das Niveau der Augeninnenränder hinausragend; Punktierung ziemlich grob und überwiegend sehr dicht, mittlerer Punktdurchmesser wenig größer als der Quer-

schnitt des 3. Fühlergliedes, Punktzwischenräume viel kleiner als die Punktradien, nur auf dem Mittelteil bis doppelt so groß wie die Punkte (Abb. 9). Fühler mäßig lang, zurückgelegt etwa den Hinterrand des Pronotums erreichend, vorletzte Glieder um ein Drittel länger als breit. Pronotum kaum länger als breit, etwa im Mitte am breitesten, von dort seitlich nach vorn fast konisch verengt, nach hinten deutlich eingeschnürt; mittlerer Längseindruck und seitliche Schrägeindrücke mäßig tief; Punktierung grob und sehr dicht, mittlerer Punktdurchmesser gut so groß wie der apikale Querschnitt des 2. Fühlergliedes, Punktzwischenräume kleiner als die Punktradien, aber nicht so gratartig scharf wie auf der Stirn (Abb. 30). Elytren trapezoid, erheblich breiter als lang, Schultern schräg, Seiten nach hinten lang, flachkonvex erweitert, Hinterrand breit ausgerandet; Schultereindruck tief und lang, in mittlerer Höhe der Elytren zur Naht hin umbiegend, Nahteindruck vorn tief (zwischen ihm und dem Schultereindruck wird eine deutliche Erhebung sichtbar), hinten flach, seitlicher Längseindruck in der Hinterhälfte tief, zwischen ihm und der hinteren Nahtabflachung befindet sich ebenfalls eine längliche Erhebung, die ist rötlich gefärbt; Punktierung so grob wie am Pronotum, Punktzwischenräume etwas kleiner als die Punktradien (Abb. 55). Abdomen ellipsoid, basale Querfurchen der vorderen Segmente mäßig tief, 7. Tergit mit rudimentärem apikalem Hautsaum; die Punktierung ist überall ziemlich bis mäßig dicht, auf dem 3. Tergit sind die Punkte fast so groß wie auf der Stirn, ab dem 4. Tergit werden sie zunehmend weniger grob, auf dem 7. Tergit sind die Punkte etwas kleiner als der basale Querschnitt des 3. Fühlergliedes, ihre Abstände wenig größer als die Punkte (Abb. 78). An den Beinen sind die Hintertarsen etwa zwei Drittel schienenlang, ihr 1. Glied ist fast so lang wie die drei folgenden Glieder zusammengenommen, viel länger als das Klauenglied, das 4. Glied ist tief gelappt. Die Elytren zeigen kaum erkennbare Netzungsspuren, die Oberseite ist im Übrigen netzungsfrei.

D i f f e r e n z i a l d i a g n o s e : Auch diese neue Art gehört in die *S. indubius*-Gruppe. Ihre Spermathek erinnert an diejenige des *S. guniunijangensis* TANG & LI, die neue Art unterscheidet sich aber von ihm durch unpunktierten Stirnmittelteil, weniger regelmäßige Elytrenpunktierung und schwächere Eindrücke auf Pronotum und Elytren. Von den übrigen Arten der Gruppe unterscheidet sie sich wie in der Bestimmungstabelle angeben.

E t y m o l o g i e : Der Name dieser neuen Art ist von ihrem Fundort abgeleitet.

***Stenus tumoripennis* nov.sp. (Abb. 10, 31, 56, 79, 81, 115, 141, 155)**

M a t e r i a l : Holotypus (♂): CHINA: Yunnan, Lisu Aut. Pref., Gaoligong Shan, 21 km NW Liuku, 3150m, 25°58'22''N, 98°41'00'' E, bamboo with shrubs, litter, 9.VI.2007, M. Schülke (C 07-26). Paratypen: 1 ♀: ibidem, 25°58'21''N, 98°41'01''E, 2.IX.2009, idem (C 09-22); 1 ♀: ibidem C 09-22a; 2 ♀♀: creek valley 20 km NW Liuku, 3000m, 25°58'49''N, 98°41'48''E, bamboo, shrubs, sifted, 9.VI.2007, A, Pütz, D. Wrase (27).- HT und PTT in cSchülke (Berlin), je 1 PT in cPütz und in cP.

B e s c h r e i b u n g : Brachypter, schwarz, jede Elytre mit einer mittleren, leicht rötlich gefärbten Beule (Abb. 56), ziemlich glänzend; Punktierung der Stirn ziemlich grob und sehr dicht, Pronotum und Elytren grob und dicht, das Pronotum rugos punktiert/skulptiert, Abdomen mäßig fein (vorn) bis sehr fein (hinten), weitläufig punktiert; Behaarung anliegend, am Abdomen sehr auffällig. Paraglossen oval. Kiefertaster, Fühlerbasis und Schenkelbasis gelblich, Fühlerkeule, 3. Glied der Kiefertaster, Schenkelspitze und Tarsen dunkler. Oberlippe dunkelbraun, Clypeus und Oberlippe ziemlich

dicht beborstet. Abdomen seitlich komplett linienförmig dünn gerandet, 4. Tarsenglied lang gelappt.

Länge: 3,7-4,6mm (Vorderkörperlänge: 1,9-2,1mm).

PM des HT (in Klammern des größten ♀-PT): HW: 34 (40); DE: 19,5 (22,5); PW: 28 (31,5); PL: 28 (35); EW: 34 (40,5); EL: 30 (36,5); SL: 21 (25).

Männchen: 6. Sternit median breit abgeflacht, in der hinteren Mitte unpunktiert, 7. Sternit mit flachem Mitteleindruck, dieser in der Hinterhälfte dichter und etwas feiner als die Sternitseiten punktiert und beborstet, Hinterrand kaum erkennbar flach ausgerandet. 8. Sternit mit sehr flacher apikaler Ausrandung (26: 1,5). 9. Sternit mit kräftigen, vergleichsweise kurzen Apikolateralzähnen (Abb. 115). 10. Tergit am Hinterrand breit abgerundet. Aedoeagus (Abb. 141), Apikalpartie des Medianlobus asymmetrisch, kurz; im Innern werden lange Ausstülpungen und ein breittubiger Innensack deutlich; Parameren deutlich länger als der Medianlobus, zu ihren unbeborsteten Spitzen verschmälert, davor mit etwa 8 kürzeren und 4 längeren Borsten.

Weibchen: 8. Sternit am Hinterrand breit abgerundet, in der Mitte deutlich leicht stumpf vorgezogen. Valvifer mit kräftigem Apikolateralzahn. 10. Tergit wie beim Männchen. Spermatheka (Abb. 155).

Kopf so breit wie die Elytren, Stirn ziemlich breit, mit tiefen Längsfurchen, Mittelteil fast so breit wie jedes der Seitenteile, stark beulenförmig erhoben, deutlich das Niveau der Augeninnenränder überragend; Punktierung ziemlich grob und sehr dicht, mittlerer Punktdurchmesser etwa so groß wie der mittlere Querschnitt des 3. Fühlergliedes, Punktzwischenräume kleiner als die Punktradien, der First des Stirnmittelteils gut punktbreit unpunktiert (Abb. 10). Fühler mäßig lang, zurückgelegt mit höchstens ihrem 11. Glied den Hinterrand des Pronotums überragend, vorletzte Glieder etwa um ein Drittel länger als breit. Pronotum so lang oder wenig länger als breit, in der Vorderhälfte am breitesten, hier seitlich konvex, hinten kräftig konkav eingeschnürt; die Oberseite ist auffällig uneben: neben einem tiefen, in mittlerer Höhe verbreiterten, unpunktierten mittleren Längseindruck befinden sich seitlich von ihm je ein vorderer und ein hinterer sowie in mittlerer Höhe ein tiefer Schrägeindruck, die Skulptur des Pronotums macht daher einen rugosen, unordentlichen Eindruck; die Punktierung ist etwas gröber als auf der Stirn, dicht, bis auf den Mitteleindruck sind die Punktzwischenräume kleiner als die Punktradien (Abb. 31). Elytren trapezoid, viel breiter als lang, Schultern schräg, Seiten zuerst lang gerade erweitert, im hinteren Viertel kräftig eingezogen, der Hinterrand tief ausgerandet; die Oberseite ist auffällig uneben, zuerst fallen, knapp hinter der Mitte, zwei starke, rötlich gefärbte Beulen auf, sodann die neben dem hinteren, äußeren Längseindruck die erhobenen Elytrenseiten, um die Mittelbeule herum sind die Elytren mehr oder weniger tief eingedrückt; die Punktierung ist im Nahtdrittel etwa so grob wie auf der Stirn, außen gröber, die Punktzwischenräume sind im Nahtdrittel mehrfach größer als die Punkte, außen kleiner (Abb. 56). Abdomen hoch-ellipsoid, basale Querschnitte der vorderen Segmente mäßig tief, 7. Tergit am Hinterrand mit rudimentärem Hautsaum; neben der liniendünnen Seitennaht ist die Punktierung oft etwas weitläufiger und suggeriert so nicht vorhandene Paratergite (Abb. 81); Punktierung von vorn bis hinten weitläufig, Punktzwischenräume viel größer als die Punkte (Abb. 79). An den Beinen sind die Hintertarsen zwei Drittel schienenlang, ihr 1. Glied ist etwas länger als die beiden folgenden Glieder zusammengenommen, deutlich, aber nicht viel länger als das Klauenglied. Die gesamte Oberseite ist netzungsfrei.

Differenzialdiagnose: Diese neue, große Art gehört der *S. indubius*-Gruppe ähnlich mit ihren Mittelhöcker der Elytren prinzipiell dem *S. tumidulipennis* nov.sp., unterscheidet sich von ihm aber leicht durch ihre feinere und weitläufigere Abdominalpunktierung, ganz abgesehen von den Sexualcharakteren. Zur Unterscheidung von den übrigen Gruppenvertretern vgl. die Bestimmungstabelle.

Etymologie: Wegen der beulenförmigen Erhebung auf den Elytren nenne ich diese neue Art "*tumoripennis*" (Lat.: mit einem Tumor auf den Elytren).

***Stenus tumidulipennis* nov.sp. (Abb. 59, 80, 82, 83, 114, 135, 156, 157)**

Material: Holotypus (♂) und 1♂-Paratypus: CHINA: Yunnan, Dali Bai Auton. Pref., Diancang Shan W Dali, 25°41'20"N, 100°06'12"E, 3160m, small creek valley, litter and Debris, 27.V.2007, M. Schülke, A. Pütz (C 07-02). Paratypen: 1♂: ibidem, 25°41'09"N, 100°06'32"W, 3000-3200m, cleft in mixed forest, litter, debris, 27.V.2007, M. Schülke (C 07-01); 3♂♂, 1♀: E slope Cangshan at Dali, 25°40'12.4"N, 100°07'27.2"E, 2764m, sifting 03, 10.V.2010, V. Grebennikov; 3♀♀: ibidem 25°40'15.1"N, 100°07'39.9"E, 2711m, sifting 04, idem; 1♂: ibidem 25°40'13.3"N, 100°07'54.8"E, 2728m, sifting 05, 11.V.2010, idem.- HT in cSchülke (Berlin), PTT in cPütz, cTang (SHNU), cPuthz und in der CNC.
1♂, 1♀ (abweichend, s.u.): Laohu Shan, Dali Shi, 2200m, 3.IX.1993, Y. Watanabe (cWatanabe).

Beschreibung: Brachypter, schwarz, jede Elytre mit einer mehr oder weniger deutlichen, leicht rötlich gefärbten Mittelbeule, ziemlich glänzend; Stirn mäßig grob und sehr dicht punktiert, Pronotum grob und sehr dicht, kaum rugos punktiert, Elytren ziemlich grob bis grob, ziemlich dicht bis dicht punktiert, Abdomen vorn grob und dicht, hinten mäßig grob und dicht punktiert; Beborstung kurz, anliegend. Paraglossen oval. Kiefertaster, Fühlerbasis und Beine gelb bis rötlichgelb, Fühlerkeule etwas dunkler. Oberlippe dunkelbraun, sehr schmal heller gesäumt. Clypeus und Oberlippe ziemlich dicht beborstet. Abdomen mit starker, vollständiger Seitennaht, 4. Tarsenglied tief gelappt.

Länge: 3,4-4,3mm (Vorderkörperlänge: 1,8-1,9mm).

PM des HT (in Klammern ein ♂-PT und der größte ♀-PT vom Cangshan): HW: 35,5 (34; 37,5); DE: 19 (18,5; 20,5); PW: 27 (26,5; 28,5); PL: 28 (26; 29); EW: 34 (33,6; 39); EL: 30 (29; 33); SL: 20 (19; 23).

Männchen: 8. Sternit am Hinterrand mit sehr flacher Ausrandung (22: 1,8). 9. Sternit mit starken Apikolateralzähnen (Abb. 114). 10. Tergit am Hinterrand breit abgerundet. Aedoeagus (Abb. 135), Apikalpartie des Medianlobus kurz, nach seitlich konkavem Bogen in eine mittlere Spitze verengt, mit einigen ziemlich kurzen Borsten; im Innern werden distal eine krampenähnliche (hufeisenförmige) Ausstülpung, proximal ein breittubiger Innensack deutlich, Parameren viel länger als der Medianlobus, zur Spitze stark verschmälert und daselbst mit 7-8 Borsten.

Weibchen: 8. Sternit am Hinterrand breit abgerundet, in der Mitte kaum vorgezogen. Valvifer mit kräftigem Apikolateralzahn. 10. Tergit wie beim Männchen. Spermatheka (Abb. 156, 157).

In vielen Punkten dem *S. tumoripennis* nov.sp. sehr ähnlich. Punktierung der Stirn etwa ebenso grob, sehr dicht, Punktzwischenräume deutlich kleiner als die Punktradien, Mittelteil der Stirn ebenfalls stark erhoben, auf dem First der Erhebung nur wenig weitläufiger als an den Seiten punktiert, nicht punktbreit geglättet. Pronotum ähnlich der vergli-

chenen Art, die Eindrücke aber nicht ganz so tief. Auch die Eindrücke und Erhabenheiten der Elytren sind weniger auffällig ausgeprägt, die Elytren sind insgesamt dichter punktiert, auch im Nahtdrittel sind die Punktzwischenräume bei den Männchen meist höchstens so groß wie die Punktradien, bei den weiblichen Paratypen aber auch größer als die Punkte (Abb. 59). Die Abdominalpunktierung ist aber ganz anders; auf dem 3. Tergit sind die Punkte etwa so groß wie auf der Stirn, ihre Abstände selten punktgroß; die Punktierung bleibt bis hinten vergleichsweise grob und dicht, auf dem 7. Tergit sind die Punkte noch so groß wie der basale Querschnitt des 3. Fühlergliedes, ihre Abstände deutlich kleiner als die Punkte (Abb. 82). Auch diese Art ist ungenutzt.

Bemerkung: Die beiden Stücke vom Laohu Shan (ich konnte diesen Ort nicht lokalisieren) unterscheiden sich bei identischem Aedoeagus (!; die Spermatheka ist leider verloren) so stark von der Typenserie, dass man sie für eine eigene Art halten müsste: der Mittelteil ihrer Stirn ist viel flacher erhoben, überragt nicht das Niveau der Augeninnenränder, die Eindrücke auf Pronotum und Elytren sind viel flacher und deshalb kaum auffällig, die Punktierung des Abdomens ist deutlich weniger grob und auch weniger dicht; auf dem 7. Tergit sind die Punkte deutlich kleiner als der basale Querschnitt des 3. Fühlergliedes, ihre Abstände nicht punktgroß (Abb. 80, vgl. Abb. 82). Ein weiterer Unterschied wird neben der Seitennaht des Abdomens erkennbar: ventral von der scharfen Naht befindet sich ein punktbreiter, glänzender, unpunktierter Streifen (Abb. 83); dieser fehlt den Stücken der Typenserie. PM der beiden Stücke (♂; ♀): HW: 34 (34,5); DE 17,5 (18); PW: 26 (26,3); PL: 27 (26,5); EW: 31 (31); EL: 28 (28); SL: 18 (18,5).- Beim gegenwärtigen Stand der Kenntnis und angesichts des geringen Materials kann ich diese Stücke nur als auffällig abweichende Exemplare des *S. tumidulipennis* werten, bezeichne sie jedoch nicht als Paratypen.

Differenzialdiagnose: Diese neue Art gehört in die *S. indubius*-Gruppe, in der sie sich vom sehr ähnlichen *S. tumoripennis* sofort durch ihre gröbere und dichtere Punktierung des Abdomens trennen lässt.

Etymologie: Weil die mittlere Erhebung auf den Elytren weniger deutlich als bei *S. tumoripennis* ist nenne ich diese neue Art "*tumidulipennis*" (Lat.= mit kleiner Erhebung auf den Elytren).

***Stenus erlanganus* nov.sp. (Abb. 11, 32, 54, 84, 85, 109, 129, 149)**

Material: Holotypus (♂): CHINA: W Sichuan (Ganzi Tibet Aut. Pref., Luding Co.), Erlang Shan Pass, Road 318, ca. 3000m, 8 km SE Luding, 190 km SW Chengdu, 21.-29.VI.1999, D. Wrase. Paratypen: 1 ♂: ibidem 2900m, 9 km DE Luding, 29°52'N, 102°18'E, 20.VI.1999, M. Schülke; 2 ♀ ♀: ibidem 2900m, 29°15'13"N, 102°17'28"E, 29.VI.1999, A. Pütz; 1 ♂: Erlang Shan, 2860m, Jijin Mts, Luding Xian, 2.X.1996, S. Nomura & Zhao.- HT und 1 PT in cSchülke (Berlin), Paratypen auch in cPütz, cWatanabe und in cP.

Beschreibung: Brachypter, Kopf schwarz, restlicher Körper dunkelbraun, Elytren in der Mitte mir mehr oder weniger deutlicher rötlicher Aufhellung, mäßig glänzend; Stirn mäßig grob und ziemlich dicht punktiert, Pronotum und Elytren grob und dicht unordentlich rugos punktiert/skulptiert, Abdomen vorn ziemlich grob und ziemlich dicht, hinten mäßig fein und dicht punktiert; Behaarung kurz, anliegend. Paraglossen oval. Kiefertaster und Fühlerbasis gelb, Fühlerkeule etwas dunkler, Beine rötlichgelb, Schenkelspitzen kaum dunkler. Oberlippe dunkler braun, heller gesäumt, Clypeus und Oberlippe ziemlich dicht behaart. Abdomen mit deutlicher Seitennaht (Abb. 85), 4. Tarsenglied dünn gelappt.

Länge: 3,0-4,0mm (Vorderkörperlänge: 1,7-1,8mm).

PM des HT (in Klammern der ♂-PT von Jiajin Mts und ein ♀-PT): HW: 34 (34,5; 36,6); DE: 18 (18; 20); PW: 25,3 (25,6; 27); PL: 27 (28; 30); EW: 30 (29,4; 32,5); EL: 28 (29; 30); SL: 23 (21; 23).

Männchen: 8. Sternit in der Hinterrandmitte mit sehr flacher Ausrandung (21: 1). 9. Sternit mit langen Apikolateralzähnen (Abb. 109). 10. Tergit am Hinterrand breit abgerundet. Aedoeagus (Abb. 129), Apikalpartie des Medianlobus kurz, nach schwach konkavem Bogen in eine breit abgerundete Spitze verengt; im Innern (bei den Typen ausgestülpt) werden kräftige Ausstülphaken und ein basal breiter, apikal schmalerer, tubiger Innensack deutlich; Parameren länger als der Medianlobus, ihre Spitzen, leicht abgesetzt, dünn, im Spitzenbereich mit etwa 17-18 Borsten.

Weibchen: 8. Sternit zur Hinterrandmitte stumpfwinklig verengt. Valvifer apikal mit langem Zahn. 10. Tergit wie beim Männchen. Spermatheka (Abb. 149).

Kopf deutlich breiter als die Elytren, Stirn mäßig breit, mit tiefen Längsfurchen, Mittelteil gut so breit wie jedes der Seitenteile, stark beulenförmig erhoben, weit über das Niveau der Augeninnenränder hinausragend; Punktierung mäßig grob und ziemlich dicht, mittlerer Punktdurchmesser etwa so groß wie der Querschnitt des 3. Fühlergliedes, Punktzwischenräume oft größer als die Punktradien, hin und wieder auch punktgroß (Abb. 11). Fühler mäßig lang, zurückgelegt etwa den Hinterrand des Pronotums erreichend, vorletzte Glieder wenig länger als breit. Pronotum etwas länger als breit, etwas hinter der Mitte am breitesten, von dort seitlich nach vorn konvex, nach hinten kräftig eingeschnürt verengt; die Oberseite ist sehr uneben, besonders fällt ein in mittlerer Höhe verbreiteter und daselbst unpunktierter Eindruck auf (der etwa so breit ist wie das 5. Fühlerglied lang), Seiteneindrücke vorn und hinten sowie ein seitlicher Schrägeindruck in mittlerer Höhe sind ebenfalls deutlich; Punktierung/Skulptur gut so grob wie auf der Stirn, sehr dicht (Abb. 32). Elytren trapezoid, wenig breiter als lang, Schultern schräg, Seiten zuerst gerade erweitert, im hinteren Drittel eingezogen, Hinterrand tief ausgerandet; Naht- und Schultereindruck tief und sehr lang, zwischen beiden sind die Elytren mehr oder weniger deutlich aufgetrieben; Punktierung gut so grob wie am Pronotum, leicht rugos, Punktzwischenräume oft so groß wie die Punktradien, vor allem im Nahteneindruck (unterschiedlich bei den einzelnen Stücken) (Abb. 54). Abdomen zylindrisch, basale Quereinschnürungen der vorderen Segmente sehr tief, 7. Tergit am Hinterrand nur mit Spuren einen Hautsaumes; Punktierung vorn etwa so grob wie auf der Stirn, Punktzwischenräume größer als die Punktradien, wiederholt punktgroß; nach hinten wird die Punktierung weniger grob, auf dem 7. Tergit sind die Punkte etwas kleiner als der basale Querschnitt des 3. Fühlergliedes, ihre Abstände etwa punktgroß (Abb. 84). An den Beinen sind die Hintertarsen etwa zwei Drittel schienenlang, ihr 1. Glied ist wenig kürzer als die drei folgenden Glieder zusammengenommen, viel länger als das Klauenglied, 4. Glied schmal gelappt. Die gesamte Oberseite ist netzungsfrei.

D i f f e r e n z i a l d i a g n o s e : Diese neue Art der *S. indubius*-Gruppe unterscheidet sich äußerlich von *S. erlangshanus* TANG kaum durch ihre angedeutete mittlere rötliche Aufhellung der Elytren, sicher durch die Sexualcharaktere.

E t y m o l o g i e : Der Name dieser neuen Art ist von ihrem Fundort abgeleitet.

***Stenus zhongdianus* nov.sp. (Abb. 12, 58, 86, 87, 118, 143, 166)**

M a t e r i a l : Holotypus (♂) und 1♂-Paratypus: CHINA: N Yunnan, Zhongdian Co., 36 km ESE Zhongdian, 3500-3550m, 27°40.9'N, 100°01.6'E, 23.VIII.2003, A. Smetana (C 133). Paratypen: 1♂: ibidem, overgreen rock hillside with old mixed forest, bamboo, dead wood, mushrooms, 24.VIII.2003, M. Schülke (C 03-13B); 1♀: Zhongdian Co., 46 km SSE Zhongdian, 3050-3100m, 27°27.0'N, 99°54.7'E, 17.VIII.2003, A. Smetana (C 125); 1♀: Zhongdian Co., 35 km ESE Zhongdian, 3450m, 27°41.0'N, 101°01.47'E, devastated mixed forest near small creek, litter, moss, dead wood, 3.VI.2005, D. Wrase (03).- HT und 1 PT in cSmetana, PTT in cSchülke und in cP.

B e s c h r e i b u n g : Brachypter, Kopf schwarz, restlicher Körper mit mehr oder weniger bräunlichem Anflug, mäßig glänzend; Stirn grob und sehr dicht, Pronotum und Elytren grob und dicht punktiert, Abdomen vorn ziemlich grob und ziemlich dicht, hinten ziemlich fein und ziemlich dicht punktiert; Beborstung anliegend. Paraglossen oval. Kiefertaster und Fühlerbasis rötlichgelb, 3. Tasterglied und Fühlerkeule etwas dunkler, Beine hell rötlichbraun, Schenkelspitzen kaum dunkler. Oberlippe dunkelbraun, kaum heller gesäumt, Clypeus und Oberlippe ziemlich dicht beborstet. Abdomen mit vollständiger, liniendünnere Seitennaht, 4. Tarsenglied gelappt.

Länge: 3,3-4,5mm (Vorderkörperlänge: 1,7-2,1mm).

PM des HT (in Klammern des ♀-PT von C 125): HW: 32 (36,5); DE: 19 (21); PW: 26 (29); PL: 25 (31,5); EW: 30,5 (36); EL: 29 (32,5); SL: 19 (22,5).

M ä n n c h e n : 8. Sternit in der Hinterrandmitte mit flacher Ausrandung (24: 2). 9. Sternit mit langen Apikolateralzähnen (Abb. 118). 10. Tergit am Hinterrand breit abgerundet. Aedoeagus (Abb. 143), Medianlobus nach vorn erweitert, flachkonvex in eine ziemlich breit abgerundete Spitze verengt, daselbst mit wenigen kurzen Borsten; im Innern werden starke Ausstülpungen und ein tubiger Innensack deutlich; Parameren kürzer als der Medianlobus, an ihren Spitzen mit etwa 13 Borsten.

W e i b c h e n : 8. Sternit am Hinterrand breit abgerundet, in der Mitte unmerklich vorgezogen. Valvifer mit langem Apikolateralzahn. 10. Tergit wie beim Männchen. Spermatheka (Abb. 166).

Kopf deutlich (♂) oder kaum (♀) breiter als die Elytren, Stirn breit, Längsfurchen ziemlich tief, Mittelteil etwa so breit wie jedes der Seitenteile, stark beulenförmig erhoben, deutlich das Niveau der Augeninnenränder überragend; Punktierung grob und sehr dicht, mittlerer Punktdurchmesser fast so groß wie der apikale Querschnitt des 2. Fühlergliedes, Punktzwischenräume überwiegend viel kleiner als die Punktradien, auf der Höhe des Mittelteils aber punktgroß (Abb. 12). Fühler ziemlich lang, zurückgelegt etwa bis zum Hinterrand des Pronotums reichend, vorletzte Glieder um ein Drittel länger als breit. Pronotum etwa so lang wie breit, knapp hinter der Mitte am breitesten, von dort seitlich nach vorn flachkonvex, nach hinten deutlich eingeschnürt verengt; Oberseite ziemlich uneben: ein kräftiger mittlerer Längseindruck (in der Mitte gut punktbreit unpunktiert), je ein vorderer und ein hinterer Seiteneindruck sowie ein Schrägeindruck in mittlerer Höhe sind deutlich; Punktierung etwa so grob wie auf der Stirn, aber weniger gedrängt, die gewölbten, glänzenden Punktzwischenräume wiederholt fast so groß wie die Punktradien. Elytren trapezoid, breiter als lang, Schultern schräg, Seiten lang-gerade erweitert, im hinteren Viertel mäßig eingezogen, der Hinterrand ist breit ausgerandet (Abb. 58). Abdomen zylindrisch, basale Querfurchen der vorderen Segmente tief, 7. Tergit mit rudimentärem apikalem Hautsaum; die Seitennaht ist liniendünn, ventral schließt sich an sie ein etwa punktbreiter glänzender Streifen an (Abb. 87); Punktierung vorn ziemlich

grob, mittlerer Punktdurchmesser etwas bis deutlich kleiner als derjenige der Stirnpunkte, Punktzwischenräume fast so groß wie die Punkte; nach hinten wird die Punktierung feiner, auf dem 7. Tergit sind die Punkte etwas kleiner als der basale Querschnitt des 3. Fühlergliedes, ihre Abstände etwas größer als die Punkte (Abb. 86). An den Beinen sind die Hintertarsen gut zwei Drittel schienenlang, ihr 1. Glied ist etwas länger als die beiden folgenden Glieder zusammengenommen, viel länger als das Klauenglied, das 4. Glied ist tief gelappt. Die gesamte Oberseite ist netzungsfrei.

Differenzialdiagnose: Diese neue Art der *S. indubius*-Gruppe ist die Schwesterart des *S. insperabilis* nov.sp., von dem sie sich nur durch den Aedoeagus sicher unterscheiden lässt. Die Spermatheka der neuen Art ähnelt derjenigen des *S. guniujiangensis* TANG & al., sie unterscheidet sich aber sofort von ihm durch unebenere Oberseite, weniger dichte Abdominalpunktierung und den Aedoeagus.

Etymologie: Der Name dieser neuen Art ist von ihrem Fundort abgeleitet.

***Stenus insperabilis* nov.sp. (Abb. 13, 34, 49, 88, 90, 128)**

Material: Holotypus (♂): CHINA: N Yunnan, Diqing Tibet Auton. Pref., Zhongdian Co., Bitai Hai Lake area, 3540m, 19 km ESE Zhongdian, 27°43.65'N, 99°58.07'E, creek valley, devastated mixed forest, litter, moss, dead wood, 1.VI.2005, M. Schülke (C 05-01): in cSchülke (Berlin).

Beschreibung: Kurzbeschreibung wie bei *S. zhongdianus* nov.sp..

Länge: 3,2-3,9mm (Vorderkörperlänge: 1,8mm).

PM des HT: HW: 34; DE: 20,5; PW: 27,5; PL: 27,5; EW: 33; EL: 31; SL: 21.

Männchen: Sekundäre Sexualcharaktere wie bei *S. zhongdianus*. Aedoeagus (Abb. 128) prinzipiell wie bei der verglichenen Art, die Ausstülphaken aber von deutlich unterschiedlicher Gestalt, die Parameren länger, an ihren Spitzen mit 13-15 Borsten.

Weibchen: Unbekannt.

Differenzialdiagnose: Diese neue Art lässt sich von *S. zhongdianus* nur durch den Aedoeagus unterscheiden (die Spermatheka ist noch unbekannt!). (vgl. a. Abb. 13, 34, 49, 88, 90).

Etymologie: Weil diese neue Art sich äußerlich nicht sicher von ihrer Schwesterart trennen lässt, nenne ich sie "*insperabilis*" (Lat.= unerwartet).

***Stenus dabaensis* nov.sp. (Abb. 14, 35, 50, 89, 91, 105, 126, 144)**

Material: Holotypus (♂): CHINA: S Shaanxi, Daba Shan, mountain range N pass 22 km NW Zhenping, N-slope, 2400m, 32°01'N, 109°21'E, mixed forest (*Pinus*, *Salix* and other deciduous trees), 13.VII.2001, M. Schülke (C 01-11).- HT und PTT in cSchülke (Berlin), PTT auch in cP.

Beschreibung: Brachypter, schwarz, schwach schimmernd; Stirn ziemlich grob und sehr dicht, Pronotum und Elytren grob, sehr dicht, kurz-rugos punktiert/skulptiert, Abdomen vorn grob und dicht, hinten wenig fein, dicht punktiert; Beborstung kurz, anliegend. Paraglossen oval. Kiefertaster und Fühlerbasis gelblich, Fühlerkeule etwas dunkler, Beine rötlichgelb, Schenkelspitzen kaum verdunkelt. Oberlippe dunkelbraun, schmal heller gesäumt, Clypeus und Oberlippe wenig dicht beborstet. Abdomen seitlich schmal gerandet (Abb. 91), 4. Tarsenglied tief gelappt.

Länge: 4,0-4,6mm (Vorderkörperlänge: 2,0-2,2mm).

PM des HT (in Klammern ein ♀-PT): HW: 34 (39); DE: 18 (21); PW: 28 (30,5); PL: 30 (32); EW: 33,5 (37,5); EL: 32 (36); SL: 23 (27).

Männchen: 7. Sternit mit breitem Mitteleindruck in der Hinterhälfte, darin sehr fein und äußerst dicht punktiert und beborstet, Hinterrand breit rund ausgerandet. 8. Sternit in der Hinterrandmitte mit flacher Ausrandung (22: 2). 9. Sternit mit kräftigen, vergleichsweise kurzen Apikolateralzähnen (Abb. 105). 10. Tergit am Hinterrand breit abgerundet. Aedoeagus (Abb. 126), Apikalpartie des Medianlobus nach flachkonkavem Bogen in eine schmal abgerundete Spitze verengt, mit mehreren feinen Borsten; im Innern werden kräftige Ausstülpungen und ein schlauchförmiger, in der Mitte etwas verbreiteter Innensack deutlich; Parameren wenig länger als der Medianlobus, im Spitzenviertel zuerst verbreitert und daselbst mit etwa 20 langen Borsten, danach stark verschmälert.

Weibchen: 8. Sternit am Hinterrand stumpfwinklig verengt, in der Mitte sehr wenig vorgezogen. Valvifer mit kräftigem Apikolateralzahn. 10. Tergit wie beim Männchen. Spermatheka (Abb. 144).

Kopf kaum breiter als die Elytren, Stirn mäßig breit, mit zwei tiefen Längsfurchen, Mittelteil fast so breit wie jedes der Seitenteile, stark beulenförmig erhoben, das Niveau der Augeninnenränder erreichend; Punktierung ziemlich grob und sehr dicht, mittlerer Punktdurchmesser etwa so groß wie der größte Querschnitt des 3. Fühlrgliedes, Punktzwischenräume deutlich kleiner als die Punktradien, aber nicht gratartig scharf (Abb. 14). Fühler ziemlich lang, zurückgelegt etwa mit ihren letzten beiden Gliedern den Hinterrand des Pronotums überragend, vorletzte Glieder fast um ein Drittel länger als breit. Pronotum etwas länger als breit, hinter der Mitte am breitesten, von dort seitlich nach vorn fast gerade (konisch) verengt, nach hinten kräftig konkav eingeschnürt; Oberseite wenig uneben (Eindrücke fallen in der dichten Skulptur wenig auf): außer einem mittleren Längseindruck, der in der Mitte etwas weitläufiger punktiert ist, wird noch ein mäßig tiefer Schrägeindruck seitlich erkennbar; Punktierung/Skulptur grob, sehr dicht, kurz-rugos (Abb. 35). Elytren mäßig trapezoid, wenig breiter als lang, Schultern schräg, Seiten lang-gerade erweitert, im hinteren Drittel mäßig eingezogen, Hinterrand breit ausgerandet; die Oberseite ist vergleichsweise eben, der Nahteindruck ist flach, der Schultereindruck etwas deutlicher, der Längseindruck im hinteren Außenviertel schwach; Punktierung/Skulptur deutlich gröber als am Pronotum, die wulstförmigen, glänzenden Punktzwischenräume wiederholt so groß wie die Punktradien (Abb. 50). Abdomen zylindrisch, basale Querschnitte der vorderen Segmente tief, 7. Tergit mit deutlichem, aber schmalem apikalem Hautsaum; seitlich sind die Segmente schmal gerandet, beim ♂ sind die Paratergite so breit wie der basale Querschnitt des 3. Fühlrgliedes, beim ♀ (3. und 4. Tergit) so breit wie das 3. Fühlrglied und hier auch mit 2-3 Punkten versehen; die Punktierung der Tergite ist vorn grob und dicht, die Punkte sind auf dem 3. Tergit etwa so grob wie auf der Stirn, ihre glänzenden Abstände aber breiter, mehrfach so breit wie die Punktradien; nach hinten wird die Punktierung weniger grob, auf dem 7. Tergit sind die Punkte noch fast so groß wie der basale Querschnitt des 3. Fühlrgliedes, ihre Abstände gut punktgroß (Abb. 89). An den Beinen sind die Hintertarsen etwa zwei Drittel schienenlang, ihr 1. Glied ist wenig kürzer als die drei folgenden Glieder zusammengenommen, viel länger als das Klauenglied, das 4. Glied ist schmal gelappt. Die Tergite 7 folgende sind flach genetzt (Netzungsspuren können auch auf den vorderen Tergiten schwach erkennbar werden), die übrige Oberseite ist ungenetzt.

Differenzialdiagnose: Diese neue Art der *S. indubius*-Gruppe unterscheidet sich von den vom Daba Shan bekannt gewordenen Nahverwandten unter anderem so: von *S. scabripunctus* nov.sp. durch schwächere Elytreneindrücke, viel weniger grob punktiertes Abdomen und geringere Größe, von *S. dabacola* nov.sp. durch auch beim Männchen unpunktierte Paratergite und weniger dichte Abdominalpunktierte, von *S. detestabilis* nov.sp. durch vollständige seitliche Abdominalrandung, schließlich von *S. detestatus* nov.sp. durch weniger dichte Abdominalpunktierte, von allen durch die Sexualcharaktere. Von den übrigen Arten der *S. indubius*-Gruppe trennt man sie wie in der Bestimmungstabelle angeben.

Etymologie: Der Name dieser neuen Art ist von ihrem Fundort abgeleitet.

***Stenus aequabilifrons* nov.sp. (Abb. 15, 36, 51, 92, 93, 124)**

Material: Holotypus (♂): CHINA: Yunnan, mountains S Jianshui, 1810m, 23°25'18"N, 102°50'53"E, secondary forest margin, litter and debris, 22.VIII.2014, M. Schülke (C 14-19): in cSchülke (Berlin).

Beschreibung: Brachypter, Kopf schwarz, schwach glänzend; grob bis sehr grob und sehr dicht punktiert. Paraglossen oval. Kiefertaster, Fühlerbasis und Beine überwiegend gelblich bis hellbraun, Fühlerkeule und Schenkelspitzen etwas dunkler. Oberlippe dunkelbraun, schmal heller gesäumt, Clypeus und Oberlippe ziemlich dicht beborstet. Abdomen seitlich mit vollständiger Naht (Abb. 93), 4. Tarsenglied schmal gelappt.

Länge: 3,8-4,5mm (Vorderkörperlänge: 1,9mm).

PM des HT: HW: 36; DE: 18,5; PW: 26; PL: 30; EW: 32; EL: 30; SL: 18,5.

Männchen: 8. Sternit am Hinterrand mit sehr flacher Ausrundung (26: 2). 9. Sternit mit ziemlich langen Apikolateralzähnen. 10. Tergit am Hinterrand breit abgerundet. Aedoeagus (beim HT ausgestülpt, Abb. 124), Apikalpartie des Medianlobus sehr schmal, in flach geschwungenem Bogen in eine scharfe Spitze verengt, seitlich mit wenigen kurzen Borsten; Ausstülphaken kräftig, Innensack tubig; Parameren deutlich länger als der Medianlobus, an ihren Spitzen mit etwa 17 langen Borsten.

Weibchen: Unbekannt.

Kopf deutlich breiter als die Elytren, Stirn mäßig breit, Längsfurchen flach, Mittelteil kaum erhoben, tief unterhalb des Niveaus der Augeninnenräder liegend; Punktierte grob und sehr dicht, mittlerer Punktdurchmesser gut so groß wie der mittlere Querschnitt des 3. Fühlergliedes, Punktzwischenräume deutlich kleiner als die Punktradien, nur in der Mitte auf einem schmalen Streifen größer als diese (Abb. 15). Fühler schlank, zurückgelegt etwa mit ihren letzten beiden Gliedern den Hinterrand des Pronotums überragend, vorletzte Glieder fast doppelt so lang wie breit. Pronotum deutlich länger als breit, knapp hinter der Mitte am breitesten, von dort seitlich nach vorn flachkonvex, nach hinten deutlich konkav verengt; die Oberseite zeigt nur schwache seitliche Schrägeindrücke; Punktierte auffallend regelmäßig, sehr grob, sehr dicht, der mittlere Punktdurchmesser erreicht mindestens die Größe des apikalen Querschnitt des 2. Fühlergliedes, die glänzenden Punktzwischenräume sind kleiner als die Punktradien, aber nicht so scharf wie auf der Stirn (Abb. 36). Elytren trapezoid, deutlich breiter als lang, Schultern schräg, Seiten lang-gerade mäßig erweitert, im hinteren Drittel mäßig eingezogen, der Hinterrand ist sehr tief und breit ausgerandet; bis auf einen Längseindruck im hinteren Außenviertel sind keine weiteren Eindrücke vorhanden; Punktierte gut so grob und

etwa ebenso dicht wie am Pronotum (Abb. 51). Abdomen zylindrisch, basale Querfurchen der vorderen Segmente tief, 7. Tergit nur mit Spuren eines apikalen Hautsaums; Punktierung vorn fast so grob wie neben den Augen, Punktzwischenräume aber größer, wenn auch immer noch kleiner als die Punktradien; nach hinten wird die Punktierung allmählich weniger grob, auf dem 7. Tergit sind die Punkte aber kleiner als der basale Querschnitt des 3. Fühlergliedes, ihre Abstände deutlich größer als die Punkte (Abb. 92). An den Beinen sind die Hintertarsen mehr als zwei Drittel schienenlang, ihr 1. Glied ist wenig kürzer als die drei folgenden Glieder zusammengenommen, viel länger als das Klauenglied. Die Abdomenspitze ist ab Tergit 7 flach genetzt, die übrige Oberseite ist netzungsfrei.

Differenzialdiagnose: Diese neue Art der *S. indubius*-Gruppe fällt hier durch ihre eingesenkte, sehr dicht punktierte Stirn und durch das Fehlen auffälliger Eindrücke des Vorderkörpers auf. Ihr Aedoeagus ähnelt dem des *S. hui* TANG & PUTHZ, die Ausstülpungen besitzen aber eine andere Gestalt, die Parameren sind länger und die Apikalpartie des Medianlobus trägt nur wenige kurze Borsten.

Etymologie: Wegen ihrer gleichförmigen Stirngestalt und -punktierung nenne ich diese neue Art "*aequabilifrons*" (Lat.= mit gleichförmiger Stirn).

***Stenus zhemoshanus* nov.sp. (Abb. 16, 37, 63, 64, 122, 136, 160-162)**

Material: Holotypus (♂), 1♂, 5♀ - Paratypen: CHINA: Yunnan, Dali Bai Auton. Pref., Zhema Shan, 7 km SW Xiaguan, 2870-2970m, 25°32-33'N, 100°10-11'E, scrub, with bamboo, oak, *Rhododendron*, litter, 18.IX.2009, M. Schülke, D. Wrase (CH 09-60).- HT und PTT in cSchülke (Berlin), je 1 PT in cP. und in cTang (SHNU).

Beschreibung: Brachypter, schwarz, mäßig glänzend; Vorderkörper grob und sehr dicht, auf Pronotum und Elytren kurz-rugos punktiert/skulptiert, Abdomen vorn mäßig grob und ziemlich dicht, hinten ziemlich fein und dicht punktiert; Beborstung anliegend. Paraglossen oval. 1. und 2. Glied der Kiefertaster, Fühler- und Schenkelbasis gelb, 3. Glied der Kiefertaster und Fühlerkeule verdunkelt, Beine im Übrigen rötlichgelb, Schenkelspitzen kurz, wenig verdunkelt. Oberlippe dunkelbraun, vorn wenig heller, Clypeus und Oberlippe ziemlich dicht beborstet. Abdomen seitlich vollständig, liniendünn gerandet (Abb. 64), 4. Tarsenglied gelappt.

Länge: 3,5-4,0mm (Vorderkörperlänge: 1,7-1,9mm).

PM des HT (in Klammern ein ♀-PT): HW: 32,3 (34,5); DE: 17 (18,5); PW: 26 (26); PL: 26 (27,5); EW: 30 (31); EL: 29 (28); SL: 19 (18).

Männchen: 7. Sternit in der hinteren Mitte leicht abgeflacht und daselbst sehr fein und dicht punktiert und beborstet. 8. Sternit mit sehr flacher apikaler Ausrandung (23: 1). 9. Sternit mit langen Apikolateralzähnen. 10. Tergit am Hinterrand breit abgerundet. Aedoeagus (Abb. 136), Apikalpartie des Medianlobus schlank, in leicht konkavem Bogen in eine scharfe Spitze verengt; im Innern werden eine dünne, krampfenähnliche, vergleichsweise schwach sklerotisierte Ausstülpung und ein langtubiger Innensack deutlich. Parameren deutlich länger als der Medianlobus, zur Spitze stark verschmälert und daselbst mit 10-11 Borsten.

Weibchen: 8. Sternit am Hinterrand breit abgerundet, in der Mitte schwach vorgezogen. Valvifer apikal mit kräftigem Zahn (Abb. 122). 10. Tergit wie beim Männchen. Spermatheka (Abb. 160-162.)

Kopf breiter als die Elytren, Stirn mäßig breit, Längsfurchen mäßig tief, Mittelteil gut so breit wie jedes der Seitenteile, das Niveau der Augeninnenränder leicht überragend; Punktierung grob und sehr dicht, mittlerer Punktdurchmesser etwa so groß wie der mittlere Querschnitt des 3. Fühlergliedes, Punktzwischenräume viel kleiner als die Punktradien, nur in der Mitte des Mittelteils wenig größer (Abb. 16). Fühler mäßig lang, zurückgelegt etwa den Hinterrand des Pronotums erreichend, vorletzte Glieder höchstens um ein Drittel länger als breit. Pronotum etwa so lang wie breit, etwa in der Mitte am breitesten, von dort seitlich nach vorn flachkonvex, nach hinten deutlich konkav verengt; die Oberseite ist deutlich, aber nicht auffällig uneben: die mittlere Längsfurche ist in mittlerer Höhe verbreitert und hier bis zweipunktebreit unpunktiert, der seitliche Schrägeindruck biegt mediad nach hinten um und erstreckt sich fast bis zum Hinterrand des Pronotums; Punktierung grob und sehr dicht, kurz-rugos, die größten Punkte wenig größer als diejenigen der Stirn (Abb. 37). Elytren trapezoid, kaum breiter als lang, Schultern mäßig schräg, Seiten lang flachkonvex, Hinterrand tief und breit ausgerandet; Schultereneindruck und ein Längseindruck im hinteren Außenviertel deutlich, Nahteneindruck flach; Punktierung/Skulptur gröber als am Pronotum, die Punkte mindestens so groß wie der apikale Querschnitt des 3. Fühlergliedes, die wulstigen Punktzwischenräume kleiner als die Punktradien, aber nicht so scharf wie neben den Augen. Abdomen zylindrisch, basale Querfurchen der vorderen Tergite tief, 7. Tergit mit sehr dünnem apikalem Hautsaum; vorn ist die Punktierung mäßig grob, auf dem 3. Tergit sind die Punktzwischenräume wiederholt so groß wie die Punkte; nach hinten wird die Punktierung deutlich feiner, auf dem 7. Tergit sind die Punkte wenig kleiner als der basale Querschnitt des 3. Fühlergliedes, ihre Abstände höchstens punktgroß (Abb. 63). An den Beinen sind die Hintertarsen gut zwei Drittel schienenlang, ihr 1. Glied ist kaum kürzer als die drei folgenden Glieder zusammengenommen, viel länger als das Klauenglied, das 4. Glied ist schmal gelappt. Die Oberseite ist ohne Netzung, nur das 7. Tergit zeigt bei einem ♀-PT Netzungsspuren.

D i f f e r e n z i a l d i a g n o s e : Diese neue Art der *S. indubius*-Gruppe ähnelt stark dem *S. hajeki* nov.sp., lässt sich von ihm aber durch geringere Größe, weniger breite Elytren, etwas weniger dichte Punktierung des Abdomen und die Spermatheka unterscheiden.

E t y m o l o g i e : Der Name dieser neuen Art ist von ihrem Fundort abgeleitet.

***Stenus hajeki* nov.sp. (Abb. 17, 38, 52, 94, 95, 147)**

M a t e r i a l : Holotypus (♂): CHINA: Yunnan, env. Shanzhi, Jizu Shan Mt., 2180-2580m, 27°57.7-8'N, 100°22.1-23.6'E, along the path to the summit, dense mixed forest (with dominant *Pinus*, *Quercus* and *Rhododendron*, near stream, detritus and leaves sifted, 22.-24.VI.2007, J. Hájek & J. Růžička; 1 ♀- Paratypus: Dali Bai Auton. Pref., mountain range E Weishan, 12 km NE Weishan, 2360-2660m, 25°17'02-15''N, 100°22.1'-23.6'E, scrub with pines and bamboo, litter, 15.IX.2009, M. Schülke (CH 09-54).- HT in cSchülke (Berlin), PT in cP.

B e s c h r e i b u n g : Brachypter, schwarz, mäßig glänzend; Vorderkörper grob und sehr dicht, aber kaum rugos punktiert, Abdomen dicht, vorn ziemlich grob, hinten mäßig fein punktiert; Beborstung kurz, anliegend. Paraglossen oval. Kiefertaster, Fühler und Beine bräunlichgelb bis hell rötlichbraun, Schenkelspitzen kaum dunkler. Oberlippe dunkelbraun, heller gesäumt, Clypeus und Oberlippe ziemlich dicht beborstet. Abdomen mit vollständiger, liniendünnere Seitennaht (Abb. 95), 4. Tarsenglied gelappt.

Länge: 3,8-4,8mm (Vorderkörperlänge: 2,0mm).

PM des HT: HW: 37; DE: 19; PW: 28; PL: 29; EW: 35; EL: 31,5; SL: 21.

Männchen: Unbekannt.

Weibchen: 8. Sternit am Hinterrand kontinuierlich abgerundet. Valvifer apikolateral mit langem Zahn. 10. Tergit wie beim Männchen. Spermatheka (Abb. 147.).

Kopf breiter als die Elytren, Stirn mäßig breit, Längsfurchen ziemlich tief, Mittelteil so breit wie jedes der Seitenteile, rund erhoben, kaum das Niveau der Augeninnenränder überragend; Punktierung grob und sehr dicht, mittlerer Punktdurchmesser etwa so groß wie der größte Querschnitt des 3. Fühlergliedes, Punktzwischenräume deutlich kleiner als die Punktradien, aber nicht gratartig scharf, auch auf dem Stirnmittelteil nicht größer (Abb. 17). Fühler mäßig schlank, zurückgelegt den Hinterrand des Pronotums erreichend, vorletzte Glieder um ein Drittel länger als breit. Pronotum gut so lang wie breit, in der Vorderhälfte am breitesten, daselbst seitlich konvex, hinten mäßig konkav verengt; längs der Mitte wird ein deutlicher, in mittlerer Höhe verbreiteter Eindruck deutlich, auch die seitlichen Schrägeindrücke sind deutlich, sie biegen rückwärts zur Mitte hin um und erreichen dann fast den Hinterrand des Pronotums; Punktierung etwas gröber als auf der Stirn, sehr dicht, mittlerer Punktdurchmesser wiederholt so groß wie der apikale Querschnitt des 2. Fühlergliedes, Punktzwischenräume deutlich kleiner als die Punktradien, im Mitteleindruck wenig größer (Abb. 38). Elytren trapezoid, deutlich breiter als lang, Schultern schräg, Seiten dann sehr flach konvex, Hinterrand breit und tief ausgegandet; Naht-, Schulter- und ein Längseindruck im hinteren Außenviertel deutlich, aber nicht sehr tief; Punktierung gröber als am Pronotum, ebenfalls sehr dicht, mittlerer Punktdurchmesser gut so groß wie der apikale Querschnitt des 2. Fühlergliedes (Abb. 52). Abdomen hoch-ellipsoid, basale Querfurchen der vorderen Segmente sehr tief, 7. Tergit mit sehr schmalen apikalem Hautsaum; vorn ist die Punktierung ziemlich grob und ziemlich dicht, auf dem 3. Tergit sind die Punktzwischenräume überwiegend etwas größer als die Punktradien; nach hinten wird die Punktierung feiner, bleibt aber dicht, auf dem 7. Tergit sind die Punkte wenig kleiner als der basale Querschnitt des 3. Fühlergliedes, ihre Abstände meist fast so groß wie die Punkte (Abb. 94). An den Beinen sind die Hintertarsen fünf Siebteil schienenlang, ihr 1. Glied ist wenig kürzer als die drei folgenden Glieder zusammengenommen, viel länger als das Klauenglied; das 4. Glied ist schmal gelappt. Die gesamte Oberseite ist netzungsfrei.

Differenzialdiagnose: Diese neue Art der *S. indubius*-Gruppe ähnelt mehreren Gruppenverwandten; vom sehr ähnlichen *S. zhemoshanus* nov.sp. unterscheidet sie sich schwer durch bedeutendere Größe, breitere Elytren und dichtere Punktierung des Abdomens sowie durch ihre Spermatheka.

Etymologie: Mit dem Namen dieser neuen Art ehre ich einen ihrer Sammler, Herrn Dr. Jiří Hajek (Prag).

***Stenus doryphorus* nov.sp. (Abb. 18, 39, 60, 96, 97, 108, 134)**

Material: Holotypus (♂): CHINA: Yunnan, Dali Bai Auton. Pref., Zhemo Shan, 7 km SW Xiaguan, 2870-2970m, 25°32'33''N, 100°10'11''E, scrub with bamboo, oaks and *Rhododendron*, litter, 18.IX.2009, M. Schülke (CH09-60): in cSchülke (Berlin).

Beschreibung: Brachypter, schwarz, schwach schimmernd; Vorderkörper grob und sehr dicht, leicht rugos, Abdomen vorn ziemlich grob und ziemlich dicht, hinten

wenig fein und dicht punktiert; Beborstung anliegend. Paraglossen oval. Kiefertaster, Fühlerbasis und Schenkelbasis gelblich, Fühlerkeule und Beine im Übrigen gelblich-braun, Schenkelspitzen kaum dunkler. Clypeus schwarz, Oberlippe dunkelbraun, schmal heller gesäumt, ziemlich dicht beborstet. Abdomen seitlich vollständig, liniendünn gerandet (Abb. 97), 4. Tarsenglied gelappt.

Länge: 3,3-3,8mm (Vorderkörperlänge: 1,7mm).

PM des HT: HW: 33,5; DE: 17; PW: 26; PL: 27; EW: 30; EL: 27; SL: 19.

Männchen: 8. Sternit in der Hinterrandmitte mit flacher Ausrandung (21: 15). 9. Sternit apikolateral mit langen Zähnen (Abb. 108). 10. Tergit am Hinterrand breit abgerundet. Aedoeagus (Abb. 134), Medianlobus breit, Apikalpartie kurz, seitlich nach leicht geschwungenem Bogen in eine scharfe Spitze verengt; im Innern werden ein starker Ausstülpmechanismus und ein kräftiger Innensack deutlich; die Parameren sind viel länger als der Medianlobus, im Spitzendrittel verbreitert, ganz vorn dann wieder stark verschmälert, mit etwa 15 kräftigen Borsten.

Weibchen: Unbekannt.

Kopf breiter als die Elytren, Stirn mäßig breit, Längsfurchen mäßig tief, Mittelteil fast so breit wie jedes der Seitenteile, nur wenig erhoben, deutlich unterhalb des Niveaus der Augeninnenränder liegend; Punktierung grob und sehr dicht, mittlerer Punktdurchmesser gut so groß wie der größte Querschnitt des 3. Fühlergliedes, Punktzwischenräume gratartig scharf, auch auf dem First des Mittelteils kaum größer als die Punktradien (Abb. 18). Fühler ziemlich lang, zurückgelegt leicht den Hinterrand des Pronotums überragend, vorletzte Glieder etwa um ein Drittel länger als breit. Pronotum etwas länger als breit, hinter der Mitte am breitesten, von der Seite nach vorn konvex, nach hinten mäßig konkav verengt; mittlerer Längseindruck und seitliche Schrägeindrücke deutlich, ziemlich tief; Punktierung wenig gröber als auf der Stirn, sehr dicht, wenig rugos, mittlerer Punktdurchmesser etwa so groß wie der apikale Querschnitt des 2. Fühlergliedes, Punktzwischenräume deutlich kleiner als die Punktradien, nur die Mitte des Längseindrucks kurz gut punktbreit unpunktiert (Abb. 39). Elytren trapezoid, breiter als lang, Schultern schräg, Seiten lang-gerade erweitert, im hinteren Viertel schwach eingezogen, Hinterrand breit ausgerandet; Naht- und Schultereindruck tief, Längseindruck im hinteren Außenviertel weniger tief; Punktierung mindestens so grob wie am Pronotum, flacher, ebenfalls sehr dicht, kaum rugos, Punktzwischenräume deutlich kleiner als die Punktradien (Abb. 60). Abdomen zylindrisch, basale Querfurchen der vorderen Segmente sehr tief, 7. Tergit mit sehr schmalem apikalem Hautsaum; Punktierung vorn ziemlich grob und dicht, auf dem 3. Tergit sind die Punkte etwa so groß wie der mittlere Querschnitt des 3. Fühlergliedes, die Punktzwischenräume wiederholt mindestens so groß wie die Punktradien; nach hinten wird die Punktierung weniger grob, bleibt aber dicht, auf dem 7. Tergit sind die Punkte kaum kleiner als der basale Querschnitt des 3. Fühlergliedes, ihre Abstände etwa punktgroß (Abb. 96). An den Beinen sind die Hintertarsen gut zwei Drittel schienenlang, ihr 1. Glied ist wenig kürzer als die drei folgenden Glieder zusammengekommen, viel länger als das Klauenglied. Die Oberseite ist überwiegend netzungsfrei, nur die Abdomenspitze ab Tergit 7 zeigt schwache Netzungsspuren.

D i f f e r e n z i a l d i a g n o s e : Diese neue Art der *S. indubius*-Gruppe gehört zu denen mit flach erhobener Stirnmitte. Sie unterscheidet sich von ihren Nahverwandten wie in der Bestimmungstabelle angegeben.

E t y m o l o g i e : Wegen der eigentümlichen Gestalt des Ausstülpklerits ihres Medianlobus nenne ich diese neue Art "*doryphorus*" (Lat.= Lanzen/Hellebardenträger).

***Stenus xueshanus* nov.sp. (Abb. 19, 40, 61, 98, 99, 117, 142, 158, 159)**

M a t e r i a l : Holotypus (♂) und 6♂♂, 6♀♀- Paratypen: CHINA: Yunnan, Licang Pref., Xue Shan, 11 km ENE Lincang, 2510m, 23°25'01''N, 110°11'17.5''E, secondary forest with *Rhododendron*, small cleft with water, litter and mushrooms sifted, 18.IX.2009, M. Schülke, D. Wrase (CH 09-39).- HT und PTT in cSchülke (Brlin), PTT auch in cP und in cTang (SHNU).

B e s c h r e i b u n g : Brachypter, schwarz mit sehr schwachem Braunanflug, mäßig glänzend; Vorderkörper grob und dicht, kaum rugos, Abdomen vorn ziemlich grob und mäßig dicht, hinten mäßig fein und dicht punktiert; Beborstung kurz, anliegend. Paraglossen oval. Kiefertaster, Fühlerbasis und Schenkelbasen gelblich, 3. Glied der Kiefertaster (manchmal), Fühlerkeule und Beine im Übrigen bräunlichgelb, Schenkelspitzen dunkler. Oberlippe dunkelbraun, vorn heller. Abdomen seitlich vollständig linienförmig gerandet (Abb. 99), 4. Tarsenglied gelappt.

Länge: 3,3-4,1mm (Vorderkörperlänge: 1,8-1,9mm).

PM des HT (in Klammern: ♀ - PT): HW: 37 (38); DE: 19 (19,5); PW: 26 (28); PL: 29 (31); EW: 33 (33,5); EL: 29 (30); SL: 19 (19).

Männchen: 7. Sternit in der hinteren Mitte kaum abgeflacht und daselbst feiner und dichter als an den Seiten punktiert und beborstet. 8. Sternit mit flacher apikaler Ausrandung (20: 2,3). 9. Sternit mit langen Apikolateralzähnen (Abb. 117). 10. Tergit am Hinterrand breit abgerundet. Aedoeagus (Abb. 142), Apikalpartie des Medianlobus nach flachkonkavem Bogen in eine scharfe Spitze verengt; im Innern werden kräftige Ausstülpungen und ein breittubiger Innensack deutlich; Parameren etwas länger als der Medianlobus, zur Spitze wenig verbreitert und daselbst mit etwa 14-15 Borsten.

Weibchen: 8. Sternit am Hinterrand abgerundet, in der Mitte stumpf vorgezogen. Valvifer mit kräftigem Apikolateralzahn. 10. Tergit wie beim Männchen. Spermatheka (Abb. 158, 159).

Kopf deutlich breiter als die Elytren, Stirn wenig breit, insgesamt eingesenkt, Längsfurchen wenig tief, Mittelteil so breit wie jedes der Seitenteile, rundlich erhoben, deutlich unterhalb des Niveaus der Augeninnenränder liegend; Punktierung grob und fast überall sehr dicht, mittlerer Punktdurchmesser mindestens so groß wie der größte Querschnitt des 3. Fühlergliedes, Punktzwischenräume deutlich kleiner als die Punktradien, aber nicht gratartig scharf, in der Stirnmitte auch größer als die Punktradien, aber nicht punktgroß (Abb. 19). Fühler ziemlich schlank, zurückgelegt mit etwa ihrem letzten Glied den Hinterrand des Pronotums überragend, vorletzte Glieder mindestens eineinhalbmals so lang wie breit. Pronotum wenig länger als breit, knapp hinter der Mitte am breitesten, von dort seitlich nach vorn konvex, nach hinten deutlich konkav verengt; die Oberseite ist uneben: außer einem mäßig tiefen, in der Mitte nur wenig weiläufiger punktierten, mittleren Längseindruck wird ein kräftiger seitlicher Schrägeindruck deutlich; Punktierung gut so grob wie auf der Stirn, sehr dicht, fast überall getrennt, die größten Punkte (seitlich) sind mindestens so groß wie der apikale Querschnitt des 2. Fühlergliedes (Abb. 40). Elytren trapezoid, viel breiter als lang, Schultern schräg, Seiten sehr flachkonvex erweitert, Hinterrand sehr tief ausgerandet; Naht-, Schulter- und ein Längseindruck im hinteren Außenviertel deutlich; Punktierung gröber als am Pronotum, dicht, die Punkte etwa so groß wie der mittlere Querschnitt des 2. Fühlergliedes, Punktzwischenräume viel kleiner als die Punktradien (Abb. 61). Abdomen zylindrisch, basale Querfurchen der vorderen Segmente sehr tief, 7. Tergit mit rudimentärem apikalem Hautsaum; auf dem 3.

Tergit sind die Punkte etwa so groß wie der mittlere Querschnitt des 3. Fühlrgliedes, ihre Abstände gut so groß wie die Punkte; nach hinten wird die Punktierung weniger grob, auf dem 7. Tergit sind die Punkte noch fast so groß wie der basale Querschnitt des 3. Fühlrgliedes, ihre Abstände etwa punktgroß (Abb. 98). An den Beinen sind die Hintertarsen etwa fünf Siebtel schienenlang, ihr 1. Glied ist etwas kürzer als die drei folgenden glieder zusammengenommen, deutlich länger als das Klauenglied, das 4. Glied ist tief gelappt. Die gesamte Oberseite ist netzungsfrei.

D i f f e r e n z i a l d i a g n o s e : Diese neue Art der *S. indubius*-Gruppe fällt durch ihre breiten Elytren, die eingesenkte Stirn und das vergleichsweise wenig dicht punktierte Abdomen auf. Zur Unterscheidung von den übrigen Nahverwandten vgl. die Bestimmungstabelle.

E t y m o l o g i e : Der Name dieser neuen Art ist von ihren Fundort abgeleitet.

***Stenus luojiensis* nov.sp. (Abb. 20, 41, 62, 100, 101, 111, 138, 152)**

M a t e r i a l : Holotypus (♂) und 4 ♀- Paratypen: CHINA: S Sichuan, S Xichang, Mt. Luoji, 2300-2500m, litter, 16.-24.VII.1996, S. Kurbatov.- HT und PTT im MHNG, PTT auch in cP und in cTang (SHNU).

B e s c h r e i b u n g : Brachypter, schwarz mit dunkel-bräunlichem Anflug, Elytren mit einer kleinen, wenig deutlichen roten Makel, mäßig glänzend; Stirn ziemlich grob und dicht, Pronotum grob und sehr dicht, Elytren noch gröber, sehr dicht punktiert, Abdomen vorn mäßig fein und wenig dicht, hinten wenig fein und ebenfalls wenig dicht punktiert; Beborstung anliegend. Paraglossen oval. Kiefertaster, Fühlerbasis und Schenkelbasis gelblich, Fühlerkeule und Rest der Beine hellbraun, Schenkelspitzen kaum dunkler. Oberlippe dunkler braun, schmal heller gesäumt, Clypeus und Oberlippe wenig dicht beborstet. Abdomen mit vollständiger, liniendünnere Seitennaht (Abb. 101), 4. Tarsenglied gelappt.

Länge: 4,0-5,1mm (Vorderkörperlänge: 1,9-2,1mm).

PM des HT (und ein ♀- PT): HW: 35 (38,5); DE: 19 (21); PW: 27 (30); PL: 29 (31); EW: 33 (37,5); EL: 30 (34); SL: 21 (23).

Männchen: 7. Sternit median feiner und dichter als an den Seiten punktiert und beborstet. 8. Sternit am Hinterrand mit sehr flacher Ausrandung (21: 1). 9. Sternit mit langen Apikolateralzähnen (Abb. 111). 10. Tergit am Hinterrand breit abgerundet. Aedoeagus (Abb. 138), Medianlobus nach vorn verbreitert und von dort in leicht geschwungenem Bogen in eine deutlich abgesetzte, schmal abgerundete Spitze verengt, Apikalpartie mit zahlreichen wenig kurzen Borsten; im Innern werden kräftige Ausstülphaken und ein breittubiger Innensack deutlich; Parameren länger als der Medianlobus, zur Spitze ein wenig lang löffelförmig erweitert und daselbst mit 13 sehr langen Borsten.

Weibchen: 8. Sternit am Hinterrand kontinuierlich abgerundet. Valvifer apikolateral mit langem Zahn. 10. Tergit wie beim Männchen. Spermatheka (Abb. 152).

Kopf wenig breiter als die Elytren, Stirn mäßig breit, mit mäßig tiefen Längsfurchen, Mittelteil so breit wie jedes der Seitenstücke, breitrund erhoben, nicht oder nur wenig das Niveau der Augeninnränder überragend; Punktierung ziemlich grob und dicht, aber nicht gedrängt, mittlerer Punktdurchmesser fast so groß wie der mittlere Querschnitt des 3. Fühlrgliedes, Punktzwischenräume überwiegend kleiner als die Punktradien, auf den hinteren Seitenteilen manchmal größer, am Mittelteil bis doppelt so groß wie die Punkte

(Abb. 20). Fühler schlank, zurückgelegt überrag mehr als das 1. Glied den Hinterrand des Pronotums, vorletzte Glieder doppelt so lang wie breit. Pronotum wenig länger als breit, hinter der Mitte am breitesten, von dort seitlich nach vorn konvex, nach hinten mäßig konkav verengt; Mittel-, Seiten- und seitliche Schrägeindrücke sehr deutlich, der mittlere Längseindruck in mittlerer Höhe deutlich verbreitert und daselbst mindestens zweipunktbreit unpunktiert; Punktierung gröber als auf der Stirn, sehr dicht Punktzwischenräume kleiner als die Punktradien (Abb. 41). Elytren trapezoid, breiter als lang, Schultern schräg, Seiten lang-gerade erweitert, im hinteren Viertel eingezogen, Hinterrand tief und breit ausgerandet; Nahteindruck vergleichsweise flach, Schultereindruck und ein Längseindruck im hinteren Außenviertel tief; Punktierung sehr grob, dicht, mittlerer Punktdurchmesser so groß wie der mittlere Querschnitt des 2. Fühlergliedes, Punktzwischenräume fast überall deutlich kleiner als die Punktradien (Abb. 62). Abdomen zylindrisch, basale Querfurchen der vorderen Segmente sehr tief, 7. Tergit mit rudimentärem apikalem Hautsaum; Punktierung auf den vorderen Tergiten mäßig fein, mittlerer Punktdurchmesser so groß wie der basale Querschnitt des 3. Fühlergliedes, Punktzwischenräume bis doppelt so groß wie die Punkte; auf dem 7. Tergit sind die Punkte viel feiner als der basale Querschnitt des 3. Fühlergliedes, ihre Abstände auch hier doppelt so groß wie die Punkte (Abb. 100) An den Beinen sind die Hintertarsen drei Viertel schienenlang, ihr 1. Glied ist fast so lang wie die drei folgenden Glieder zusammengenommen, viel länger als das Klauenglied, das 4. Glied ist tief gelappt. Die Oberseite ist nahezu netzungsfrei, Spuren einer flachen Netzung können auf der Abdomenspitze festgestellt werden.

D i f f e r e n z i a l d i a g n o s e : Diese neue Art der *S. indubius*-Gruppe ähnelt im Bau ihres Aedoeagus stark dem *S. hui* TANG & PUTHZ, unterscheidet sich aber von ihm sofort durch ihre feinere und weitläufigere Punktierung des Abdomens. Von den übrigen Verwandten trennt man sie wie in der Bestimmungstabelle angeben.

E t y m o l o g i e : Der Name dieser neuen Art ist von ihren Fundort abgeleitet.

***Stenus vietnamensis* PUTHZ, 1968 (Abb. 21, 57, 102, 103, 167)**

Stenus vietnamensis PUTHZ, 1968: 464.

Stenus shibataianus PUTHZ, 2011: 582 **nov. syn.**

Material: 1♂: CHINA: Hainan, Limushan Mt., 550-750m, 19°9.1-9.2'N, 109°45-46'E, along the road, sifting of moist to wet leaf litter along the stream in the secondary forest with bamboo, 5.V.2011, Ficáček & Zhao: im ZMP.

Ein Vergleich von Material aus Vietnam und aus Taiwan zeigt, dass es sich bei dieser Art um eine weit verbreitete Spezies handelt, die nun auch für Hainan nachgewiesen ist.

Danksagung

Allen Kollegen und Institutionen, die mit ihrem Material zu dieser Übersicht beigetragen haben, möchte ich herzlich für ihr Vertrauen danken. Mein besonderer Dank gilt meinem Freund LIANG TANG (Shanghai) für Beratung und wertvolle Hinweise.

Zusammenfassung

In dieser Arbeit behandle ich chinesische *Stenus*- Arten der *S. indubius*-Gruppe, die bisher noch nichtpubliziert worden sind. Beschrieben werden 22 neue Arten: *Stenus aequabilifrons* nov.sp.

(Sichuan), *S. dabacola* nov.sp. (Hubei), *S. dabaensis* nov.sp. (Shaanxi), *S. detestabilis* nov.sp. (Hubei), *S. detestatus* nov.sp. (Hubei), *S. doryphorus* nov.sp. (Yunnan), *S. erlanganus* nov.sp. (Sichuan), *S. habashanus* nov.sp. (Yunnan), *S. hajeki* nov.sp. (Yunnan), *S. impressicollis* nov.sp. (Sichuan), *S. insperabilis* nov.sp. (Yunnan), *S. luojiensis* nov.sp. (Sichuan), *S. luojimontis* nov.sp. (Sichuan), *S. micangmontium* nov.sp. (Shaanxi), *S. nibamontis* nov.sp. (Sichuan), *S. scabripunctus* nov.sp. (Shaanxi), *S. tumidulipennis* nov.sp. (Yunnan), *S. tumoripennis* nov.sp. (Yunnan), *S. xilingshanus* nov.sp. (Sichuan), *S. xueshanus* nov.sp. (Yunnan), *S. zhemoshanus* nov.sp. (Yunnan), *S. zhongdianus* nov.sp. (Yunnan) und in einen Bestimmungsschlüssel aller bisher bekannten chinesischen Arten der Gruppe eingeordnet. Eine neue Synonymie wird festgestellt: *S. shibataianus* PUTHZ, 2011 nov. syn. = *S. vietnamensis* PUTHZ, 1968.

Literatur

- NAOMI S.-I. (2006): Taxonomic Revision of the genus *Stenus* LATREILLE, 1797 (Coleoptera, Staphylinidae, Steninae) of Japan: species group of *S. indubius* SHARP. — The Japanese Journal of Systematic Entomology **12**: 39-120.
- OH K.-S. & Y.-B. CHO (2016): Review of the *Stenus indubius* group (Coleoptera, Staphylinidae) in Korea. — Journal of Asia-Pacific Entomology **19**: 937-946.
- PUTHZ V. (1968): Über indo-australische Steninen I (Coleoptera, Staphylinidae). — Deutsche Entomologische Zeitschrift N.F. **15**: 445-474.
- PUTHZ V. (2011): On the *Stenus* LATREILLE, 1797 from Taiwan with spotted elytra including remarks on the gestroi-group (Coleoptera, Staphylinidae). — Linzer biologische Beiträge **43** (1): 565-596.
- PUTHZ V. (2013): Übersicht über die orientalischen Arten der Gattung *Stenus* LATREILLE 1797 (Coleoptera, Staphylinidae). — Linzer biologische Beiträge **45** (1): 851-883.
- TANG L., LI L.-Z. & M.-J. ZHAO (2005): Two new species of *Stenus* from Anhui Province, East China (Coleoptera: Staphylinidae). — In: REN G. D. (ed.), [Classification and Diversity of Insects in China] China Agriculture Science and Technology Press, pp. 106-109.
- TANG L. & Y.-L. ZHAO (2008): Three new *Stenus* species of the *indubius* group (Coleoptera, Staphylinidae) from China. — Zootaxa **1741**: 51-58.
- TANG L., ZHAO Y.-L. & V. PUTHZ (2009): Brachypterous *Stenus* species (Coleoptera, Staphylinidae, Steninae) from West-Central China. — Entomologica Fennica **20**: 191-199.
- TANG L. & L.-Z. LI (2012): Five new species of the *Stenus indubius* group (Coleoptera, Staphylinidae) from China. — ZooKeys **165**: 1-20.
- TANG L., LI L.-Z. & J.-W. WANG (2012): Two additional new species of the *Stenus indubius* group (Coleoptera, Staphylinidae) from China. — ZooKeys **215**: 41-54.
- TANG L., PUTHZ V. & Y.-L. YUE (2016): A study of the genus *Stenus* LATREILLE from Tianmushan Mountain Chain of East China (Coleoptera, Staphylinidae). — Zootaxa **4171**: 139-152.

Anschrift des Verfassers: Dr. Volker PUTHZ
Burgmuseum Schlitz, Naturwissenschaftliche Abteilung
Vorderburg 1, D-36110 Schlitz, Deutschland
E-Mail: Stenus.Puthz@t-online.de

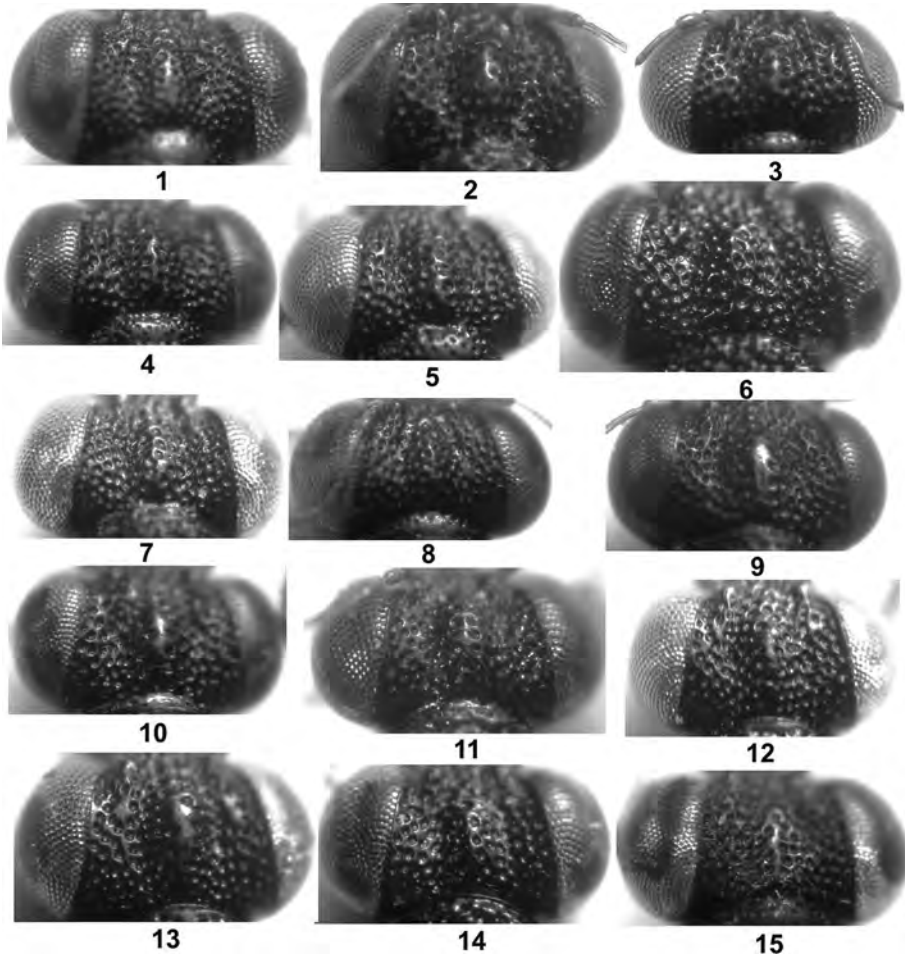


Abb. 1-15: Köpfe der HTT von *Stenus micangmontium* nov.sp. (1), *S. impressicollis* nov.sp. (2), *S. luojimontis* nov.sp. (3), *S. detestabilis* nov.sp. (4), *S. detestatus* nov.sp. (5), *S. scabripunctus* nov.sp. (6), *S. dabacola* nov.sp. (7), *S. nibamontis* nov.sp. (8), *S. habashanus* nov.sp. (9), *S. tumoripennis* nov.sp. (10), *S. erlanganus* nov.sp. (11), *S. zhongdianus* nov.sp. (12), *S. insperabilis* nov.sp. (13), *S. dabaensis* nov.sp. (14) und *S. aequabilifrons* nov.sp. (15).

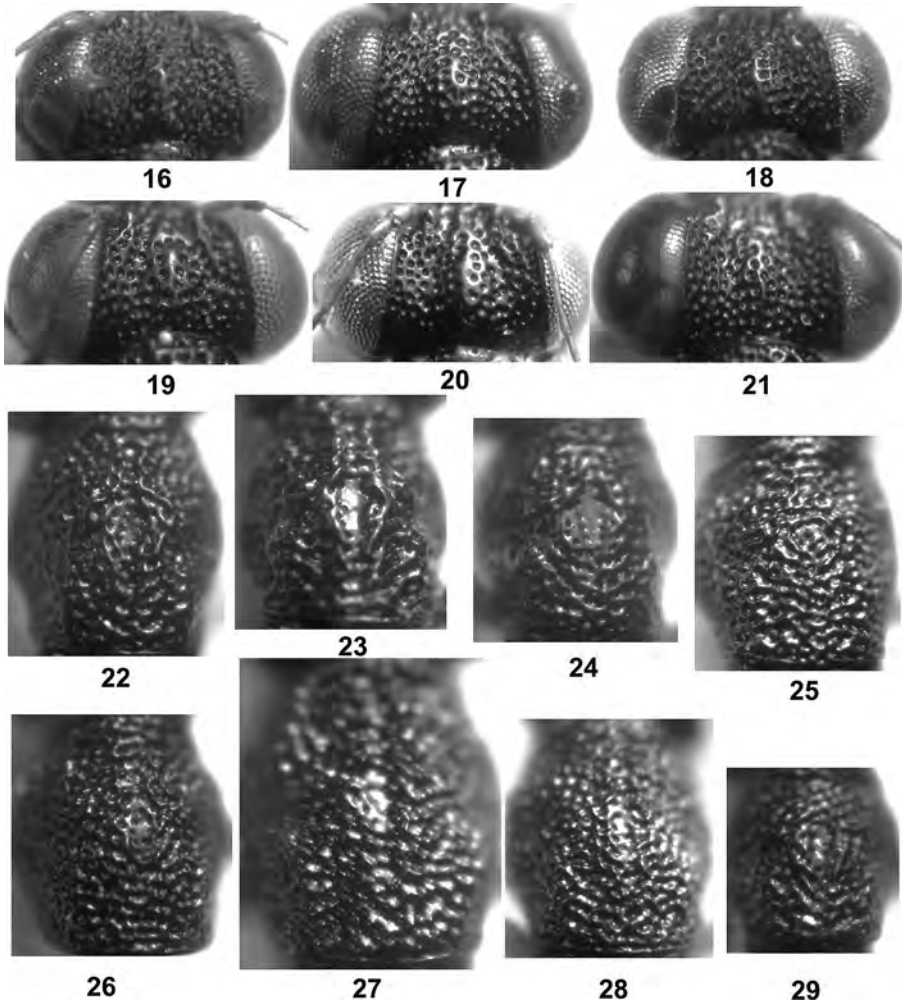


Abb. 16-29: Köpfe (16-21) und Pronota (22-29) der HTT von *Stenus zhemoshanus* nov.sp. (16), *S. hajeki* nov.sp. (17), *S. doryphorus* nov.sp. (18), *S. xueshanus* nov.sp. (19), *S. luojiensis* nov.sp. (20), *S. vietnamensis* PUTHZ (Hainan, 21), *S. micangmontium* nov.sp. (22), *S. impressicollis* nov.sp. (23), *S. luojimontis* nov.sp. (24), *S. detestabilis* nov.sp. (25), *S. detestatus* nov.sp. (26), *S. scabripunctus* nov.sp. (27), *S. dabacola* nov.sp. (28) und *S. nibamontis* nov.sp. (29).

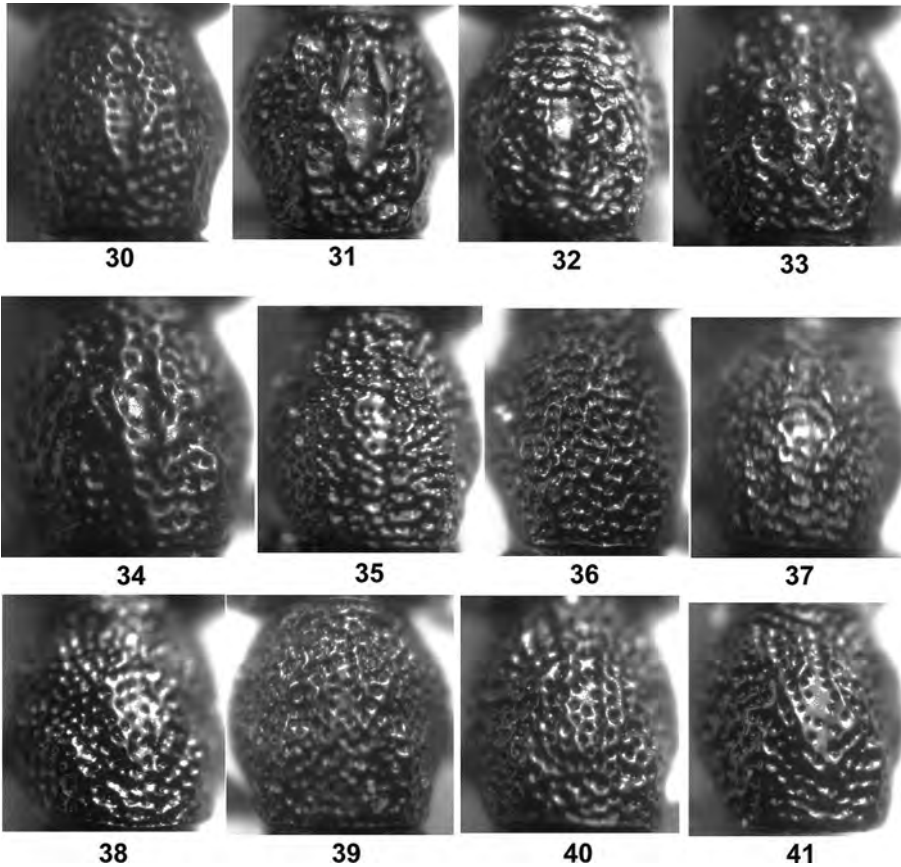


Abb. 30-41: Pronota der HTT von *Stenus habashanus* nov.sp. (30), *S. tumoripennis* nov.sp. (31), *S. erlanganus* nov.sp. (32), *S. impressicollis* nov.sp. (33), *S. insperabilis* nov.sp. (34), *S. dabaensis* nov.sp. (35), *S. aequabilifrons* nov.sp. (36), *S. zhemoshanus* nov.sp. (37), *S. hajeki* nov.sp. (38), *S. doryphorus* nov.sp. (39), *S. xueshanus* nov.sp. (40) und *S. luojiensis* nov.sp. (41).

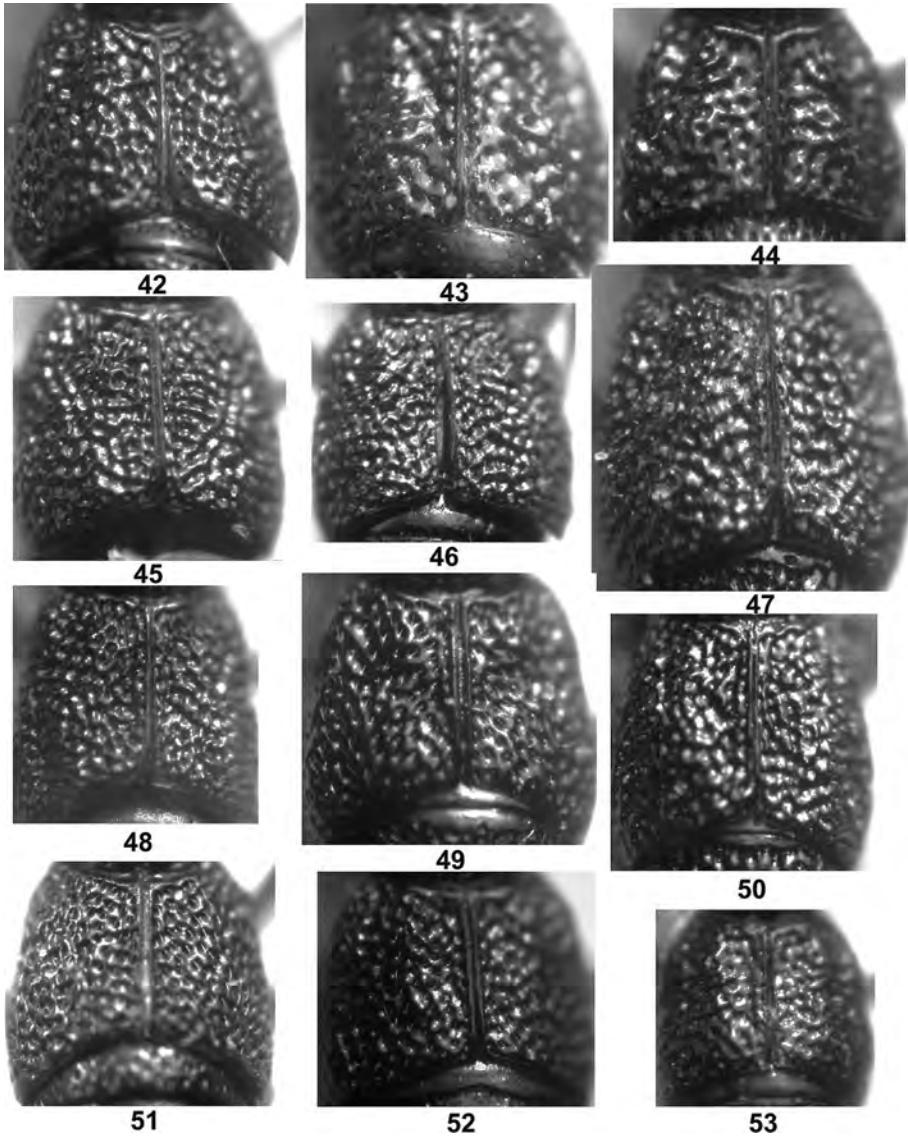


Abb. 42-53: Elytren der HTT von *Stenus micangmontium* nov.sp. (42), *S. impressicollis* nov.sp. (43), *S. luojimontis* nov.sp. (44), *S. detestatus* nov.sp. (45), *S. detestabilis* nov.sp. (46), *S. scabripunctus* nov.sp. (47), *S. dabacola* nov.sp. (48), *S. insperabilis* nov.sp. (49), *S. dabaensis* nov.sp. (50), *S. aequabilifrons* nov.sp. (51), *S. hajeki* nov.sp. (52) und *S. nibamontis* nov.sp. (53).

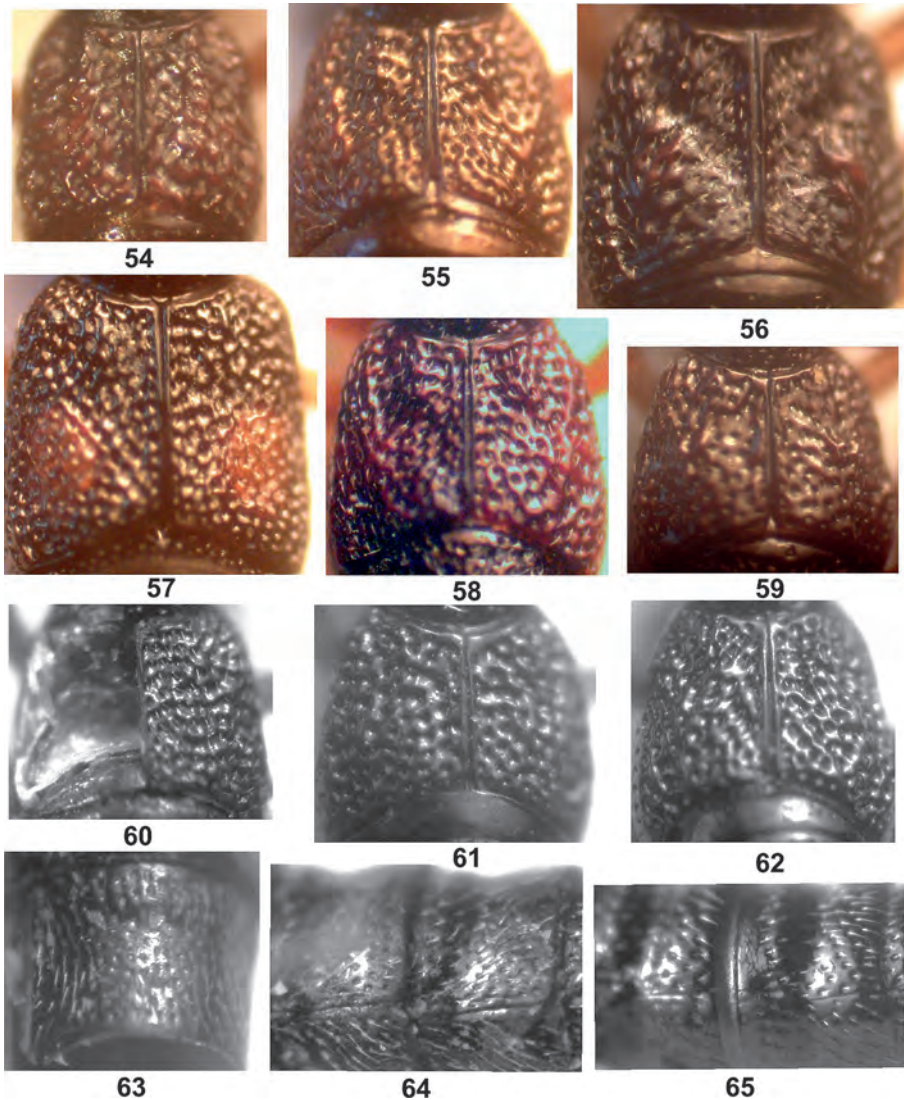


Abb. 54-65: Elytren (54-62), 7. Tergit (63) und Abdominalsegmente 5 + 6 von lateral (64-65) der HTT von *Stenus erlanganus* nov.sp. (54), *S. habashanus* nov.sp. (55), *S. tumoripennis* nov.sp. (56), *S. vietnamensis* PUTHZ (Hainan, 57), *S. zhongdianus* nov.sp. (58), *S. tumidulipennis* nov.sp. (59), *S. doryphorus* nov.sp. (60), *S. xueshanus* nov.sp. (61), *S. luojiensis* nov.sp. (62), *S. zhemoshanus* nov.sp. (63, 64) und *S. nibamontis* nov.sp. (65).

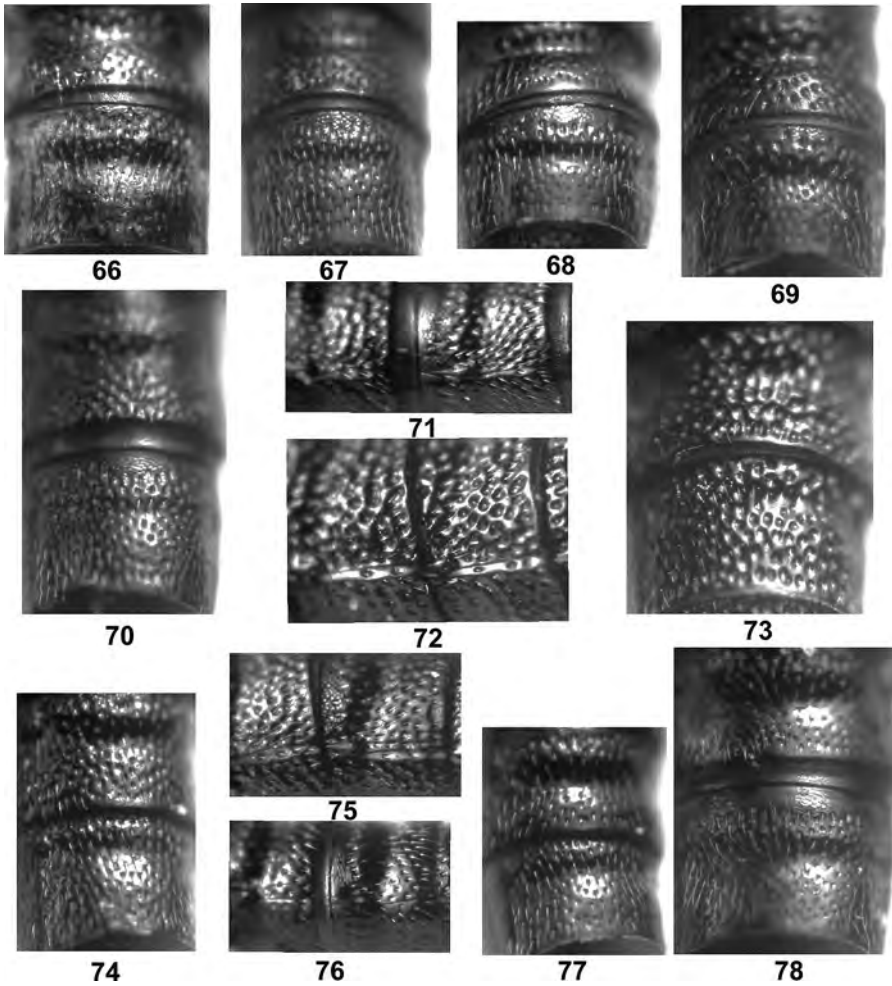


Abb. 66-78: Tergite 6 und 7 (66-70, 73, 74, 77, 78) und Abdominalsegmente 6 + 7 von lateral (71, 72, 75, 76) der HTT von *Stenus micangmontium* nov.sp. (66), *S. detestabilis* nov.sp. (67), *S. luojimontis* nov.sp. (68), *S. impressicollis* nov.sp. (69), *S. detestatus* nov.sp. (70), *S. detestabilis* nov.sp. (71), *S. scabripunctus* nov.sp. (72, 73), *S. dabacola* nov.sp. (74, 75), *S. nibamontis* nov.sp. (76, 77) und *S. habashanus* nov.sp. (78).

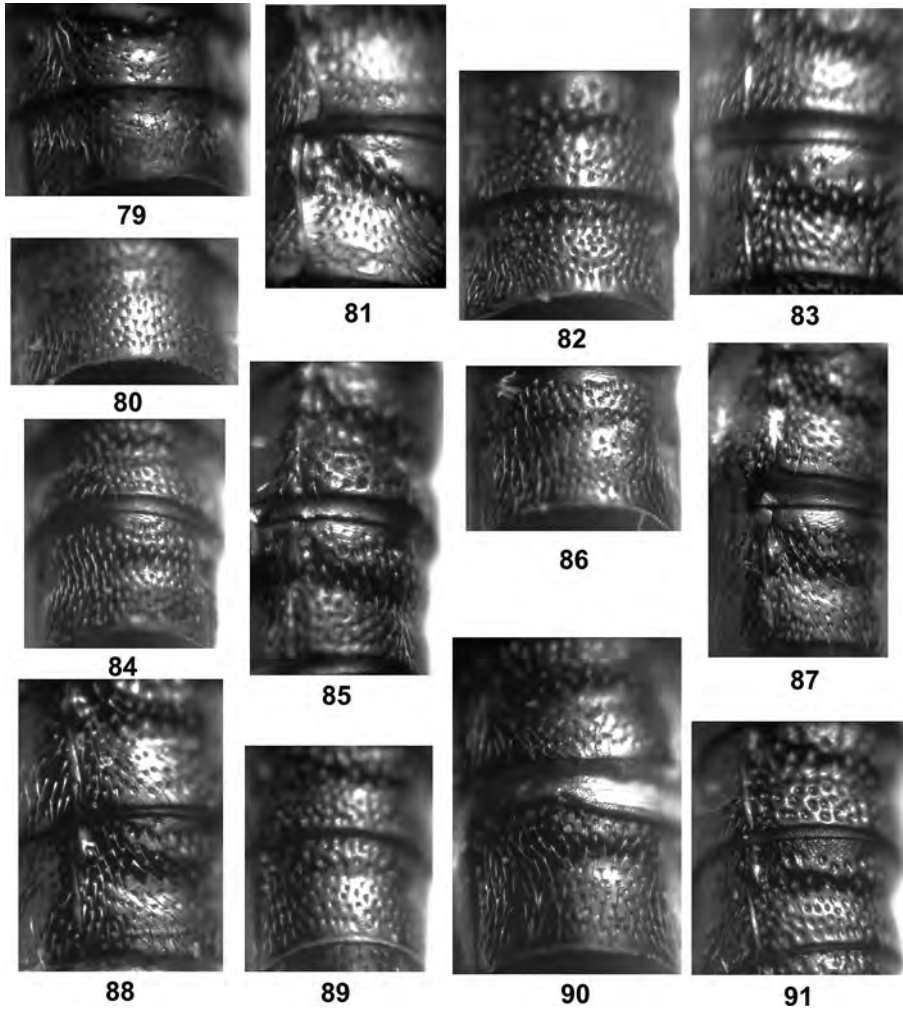


Abb. 79-91: Tergite 6 und 7 (79, 81, 84, 89, 90), Tergit 7 (83, 86) und Abdominalsegmente 6 + 7 von lateral (80, 82, 85, 87, 88, 91), (meist) der HTT von *Stenus tumoripennis* nov.sp. (79, 81), *S. tumidulipennis* nov.sp. (80, 82, Laohu 83), *Stenus erlanganus* nov.sp. (84, 85), *S. zhongdianus* nov.sp. (86, 87), *S. insperabilis* nov.sp. (88, 90) und *S. dabaensis* nov.sp. (89, 91).

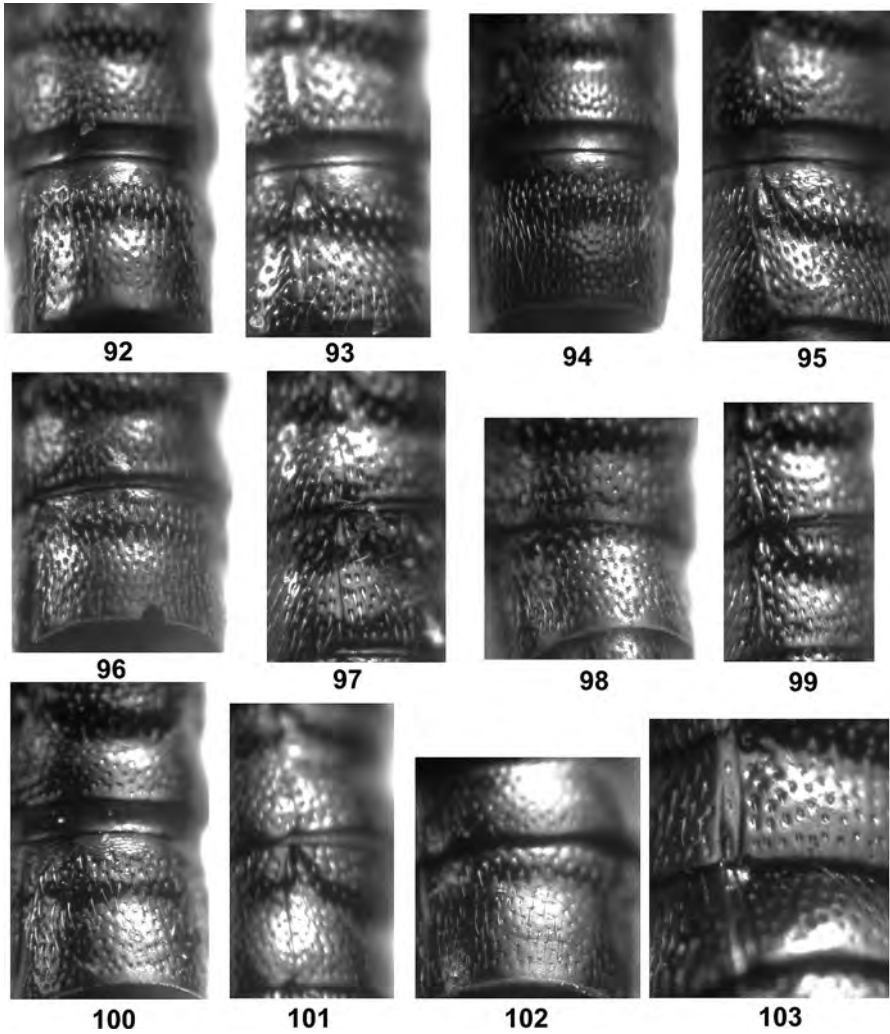


Abb. 92-103: Abdominalsegmente 5 + 6 von lateral (meist) der HTT von *Stenus aequabilifrons* nov.sp. (92, 93), *S. hajeki* nov.sp. (94, 95), *S. doyphorus* nov.sp. (96, 97), *S. xueshanus* nov.sp. (98, 99), *S. luojiensis* nov.sp. (100, 101) und *S. vietnamensis* PUTHZ (Hainan, 102, 103).

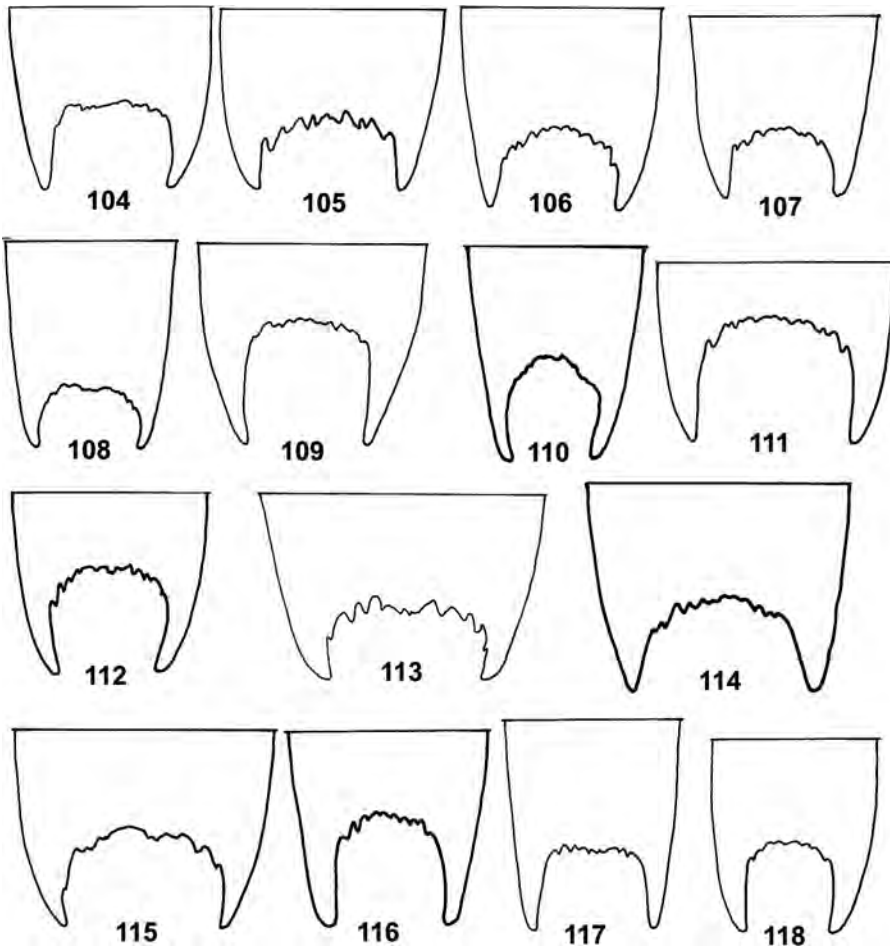


Abb. 104-118: Hinterer Teil des 9. Sternits der Männchen (Maßstab unterschiedlich) der HTT von *Stenus dabacola* nov.sp. (104), *S. dabaensis* nov.sp. (105), *S. detestabilis* nov.sp. (106), *S. detestatus* nov.sp. (107), *S. doryphorus* nov.sp. (108), *S. erlanganus* nov.sp. (109), *S. impressicollis* nov.sp. (110), *S. luojiensis* nov.sp. (111), *S. nibamontis* nov.sp. (112), *S. scabripunctus* nov.sp. (113), *S. timidulipennis* nov.sp. (114), *S. tumoripennis* nov.sp. (115), *S. xilingshanus* nov.sp. (116), *S. xueshanus* nov.sp. (117) und *S. zhongdianus* nov.sp. (118).

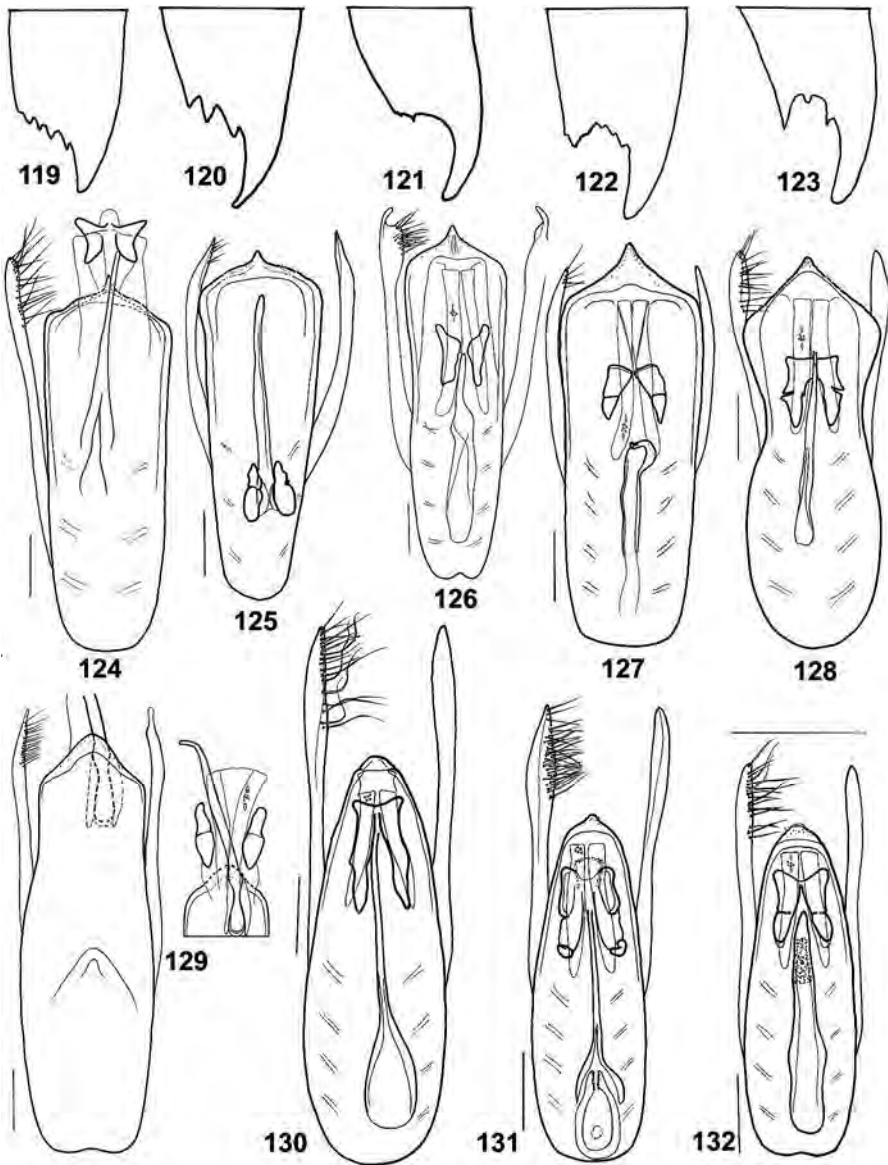


Abb. 119-132: Hintere Partie des Valvifers (119-123), Ventralansicht der Aedoeagi (124-132) von *Stenus detestabilis* nov.sp. (PT, 119), *S. impressicollis* nov.sp. (PT, 120), *Stenus luojimontis* nov.sp. (PT, 121), *S. zhemoshanus* nov.sp. (PT, 122), *S. habashanus* nov.sp. (HT, 123), *S. aequabilifrons* nov.sp. (HT, 124), *S. dabacola* nov.sp. (HT, 125), *S. dabaensis* nov.sp. (PT, 126), *S. detestatus* nov.sp. (HT, 127), *S. insperabilis* nov.sp. (HT, 128), *S. erlanganus* nov.sp. (HT, 129), *S. erlangshanus* TANG (PT, 130), *S. nibamontis* nov.sp. (HT, 131) und *S. xilingshanus* nov.sp. (PT, 132).- Maßstab = 0,1mm.

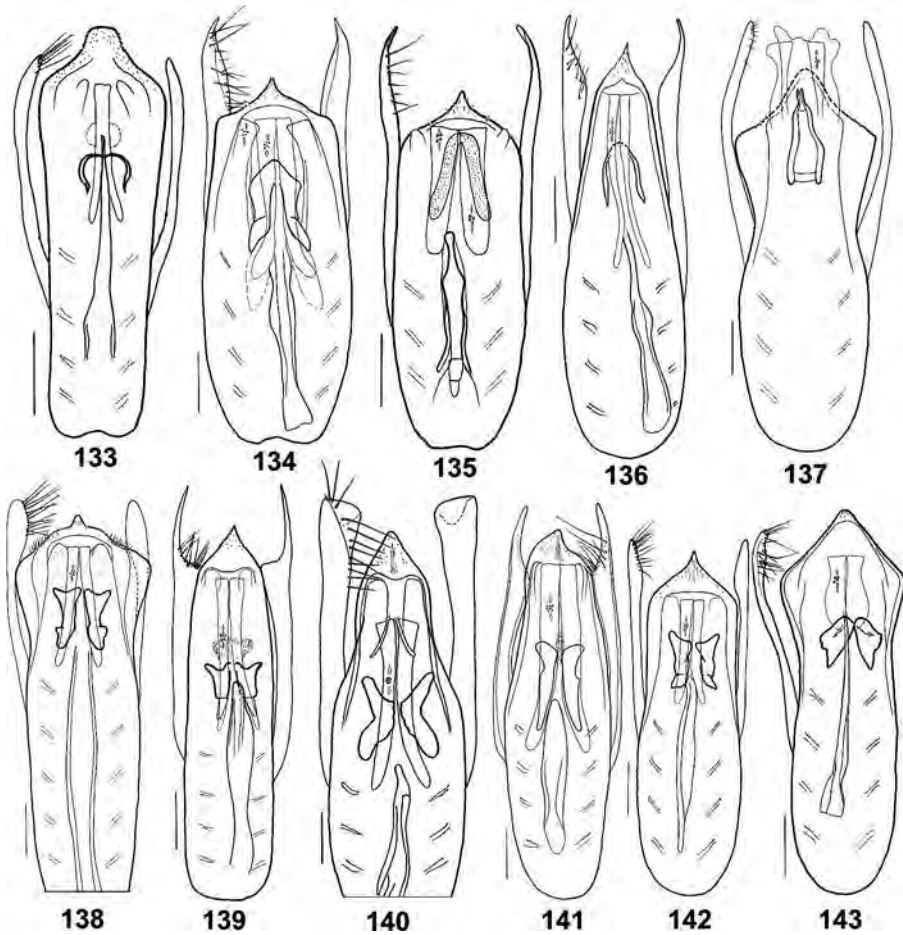


Abb. 133-143: Ventralansicht der Aedeogi von *Stenus detestabilis* nov.sp. (HT, 133), *S. doryphorus* nov.sp. (HT, 134), *S. tumidulipennis* nov.sp. (HT, 135), *S. zhemoshanus* nov.sp. (HT, 136), *S. impressicollis* nov.sp. (HT, 137), *S. luojiensis* nov.sp. (HT, 138), *S. micangmontium* nov.sp. (HT, 139), *S. scabripunctus* nov.sp. (PT, 140), *S. tumoripennis* nov.sp. (HT, 141), *S. xueshanus* nov.sp. (PT, 142) und *S. zhongdianus* nov.sp. (HT, 143). Maßstab = 0,1mm.

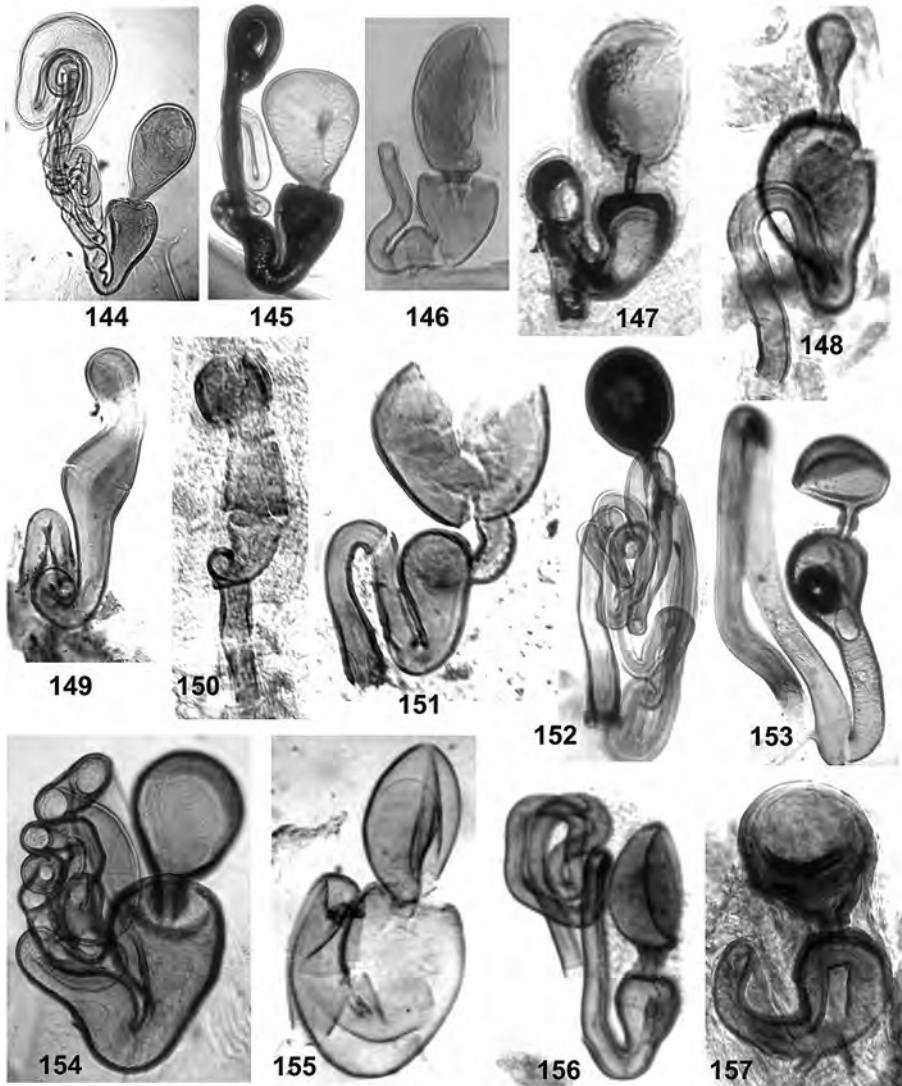


Abb. 144-157: Spermatheken von *Stenus dabaensis* nov.sp. (PT, 144), *Stenus detestabilis* nov.sp. (PT, 145), *S. detestatus* nov.sp. (PT, 146), *S. hajeki* nov.sp. (PT, 147), *S. habashanus* nov.sp. (PT, 148), *S. erlanganus* nov.sp. (PT, 149), *S. erlangshanus* TANG (PT, 150), *S. luojimontis* nov.sp. (PT, 151), *S. luojiensis* nov.sp. (PT, 152), *S. micangmontium* nov.sp. (PT, 153), *S. scabripunctus* nov.sp. (PT, 154), *S. tumoripennis* (PT, 155) und *S. tumidulipennis* nov.sp. (PTT, 156, 157).

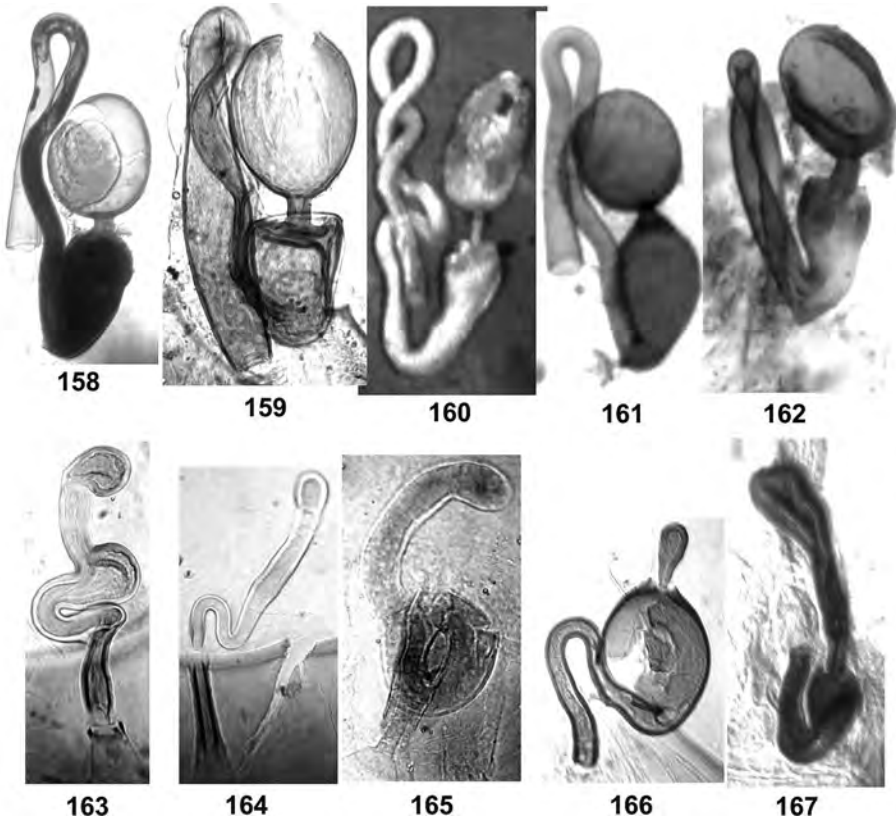


Abb. 158-167: Spermatheken von *Stenus xueshanus* nov.sp. (PTT, **158, 159**), *S. zhemoshanus* nov.sp. (PT, **160-162**), *Stenus xilingshanus* nov.sp. (PT, **163**), *S. nibamontis* nov.sp. (PT, **164**), *S. impressicollis* nov.sp. (PT, **165**), *S. zhongdianus* nov.sp. (PT, **166**) und *S. vietnamensis* PUTHZ (Hainan, **167**).

ZOBODAT - www.zobodat.at

Zoologisch-Botanische Datenbank/Zoological-Botanical Database

Digitale Literatur/Digital Literature

Zeitschrift/Journal: [Linzer biologische Beiträge](#)

Jahr/Year: 2017

Band/Volume: [0049_2](#)

Autor(en)/Author(s): Puthz Volker

Artikel/Article: [Neue und alte Arten der Stenus indubius-Gruppe aus China \(Coleoptera, Staphylinidae\) 354. Beitrag zur Kenntnis der Steninen Volker PUTHZ 1353-1398](#)